

## บทที่ 5

### ผลการศึกษาและวิเคราะห์ผล

ในบทนี้จะกล่าวถึงผลการทดสอบของโครงสร้างรดยนต์โดยสารส่วนต่างๆ รวมถึงผลการสอนเทียบผลการทดลองกับการจำลองด้วยโปรแกรม FEA เพื่อนำโปรแกรมดังกล่าวไปขยายผลใช้กับโครงสร้างส่วนอื่นๆ ที่ไม่สามารถทำการทดลองจริงได้ โดยจะได้ทำการวิเคราะห์ผลจากการทดสอบเป็นส่วนๆ ตามหัวข้อที่กล่าวผ่านมาในบทที่ 4

#### 5.1 ผลการสอนเทียบระหว่างการทดลองกับการทดสอบด้วยโปรแกรม FEA

ในหัวข้อนี้เป็นผลที่ได้จากการสอนเทียบโปรแกรม FEA (ABAQUS) ที่ใช้งาน กับผลการทดลอง เพื่อยืนยันความถูกต้องของโปรแกรมและขยายผลการทดสอบไปยังส่วนอื่นๆ ที่ไม่สามารถทำการทดลองได้เนื่องจากโครงสร้างมีขนาดใหญ่และใช้ต้นทุนสูง ใน การสอนเทียบจะใช้ส่วนของโครงสร้างด้านข้างของรดยนต์โดยสารที่มีการต่อ 3 แบบดังรายละเอียดการทดลองและแบบจำลองที่กล่าวมาแล้วในบทที่ 4 เป็นโครงสร้างหลักในการสอนเทียบ ทั้งนี้การสอนเทียบได้แบ่งออกเป็นสองส่วน คือส่วนที่หนึ่งเป็นการสอนเทียบภายใต้ภาระการชนด้วยความเร็วต่ำ ใช้การทดสอบภายใต้ภาระที่กระทำ 3 แบบคือ 1 ภาระแบบกดในแนวแกน 2 ภาระแบบดัด 3 ภาระแบบบิด และส่วนที่สองเป็นการสอนเทียบภายใต้ภาระการชนด้วยความเร็วสูง ใช้เพียงการกระแทกในแนวแกนเท่านั้น ผลการสอนเทียบทั้งสองส่วนมีดังต่อไปนี้

##### 5.1.1 ผลการสอนเทียบภายใต้ภาระการชนด้วยความเร็วต่ำ

ในการสอนเทียบด้วยการชนแบบความเร็วต่ำของชิ้นส่วนโครงสร้างแพงด้านข้างของรดยนต์โดยสารนี้ได้ทำการสอนเทียบความแม่นยำของโปรแกรมโดยพิจารณาจากผลของรูปแบบการเสียหายของโครงสร้าง และลักษณะกราฟการตอบสนองของโครงสร้างที่ได้จากโปรแกรม FEA เปรียบเทียบกับผลจากการทดลองจริง นอกจากนี้ยังทำการคำนวณค่าพลังงานคุดซับของโครงสร้างที่ได้จากการทดลองเทียบกับแบบจำลองทาง FEA เพื่อเปรียบเทียบกันอีกด้วย และเพื่อให้่ายต่อการทำความเข้าใจ จึงขอทำการวิเคราะห์เบรยบเทียบรูปแบบการเสียหายของโครงสร้าง และลักษณะกราฟการตอบสนองของโครงสร้าง ภายใต้ภาระกระทำแบบต่างๆ ในหัวข้อต่อไปนี้ ส่วนการเปรียบเทียบค่าพลังงานคุดซับที่ได้จะทำการอภิปรายโดยรวมในหัวข้อดังไปอีก

### 5.1.1.1 ผลการสอบเที่ยบโดยพิจารณาการตอบสนองของชิ้นส่วนโครงสร้าง

โครงสร้างได้ก็ตามเมื่อถูกแรงกระทำเป็นระยะเวลาหนึ่ง โครงสร้างจะตอบสนองด้วยการเสียรูป โดยยุบตัวในรูปแบบใดรูปแบบหนึ่งของมัน โดยรูปแบบการเสียหายนั้นๆ มักมีลักษณะเฉพาะตัว ซึ่งโดยปกติขึ้นกับลักษณะการต่อ รูปทรงของโครงสร้าง และคุณสมบัติของวัสดุ นอกจากนี้ในระหว่างการเสียรูปของโครงสร้าง โครงสร้างจะคุดซับแรงกระทำและปลดปล่อยแรงปฏิกิริยาของมันตลอดเวลา โดยแรงปฏิกิริยาที่ปล่อยของมันนี้สามารถเขียนเป็นกราฟความสัมพันธ์กับระยะยุบตัวได้ เรียกว่ากราฟของกระแสและระยะยุบตัว (Load Displacement Curve) หรือกราฟของแรงปฏิกิริยาและระยะยุบตัว ซึ่งนับเป็นการตอบสนองของโครงสร้างอีกรูปแบบหนึ่ง

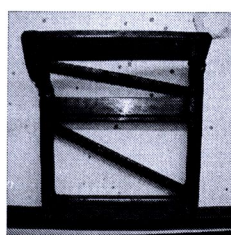
#### (1) การตอบสนองของชิ้นส่วนโครงสร้างด้านข้างภายใต้การกดในแนวแกน

##### (1.1) ผลการทดสอบด้วยการทดลองจริง

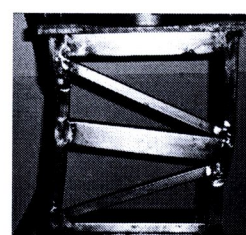
รูปแบบการเสียหายของชิ้นส่วนโครงสร้างภายใต้การกดในแนวแกนแสดงในภาพที่ 5.1 ซึ่งสังเกตได้ว่าลักษณะการเสียหายของโครงสร้างที่ต่อแบบทแยงมุมและแบบสลับฟันปลา ส่วนใหญ่จะเสียหายบริเวณส่วนเสริมโครงสร้างเป็นหลัก ดังแสดงภาพที่ 5.1 (ข) และ 5.1 (ค) ส่วนการต่อแบบขนาดใหญ่ไม่เสียหายเกิดขึ้นบริเวณความเพิ่มขึ้นด้วย ดังภาพที่ 5.1 (ก)



(ก)



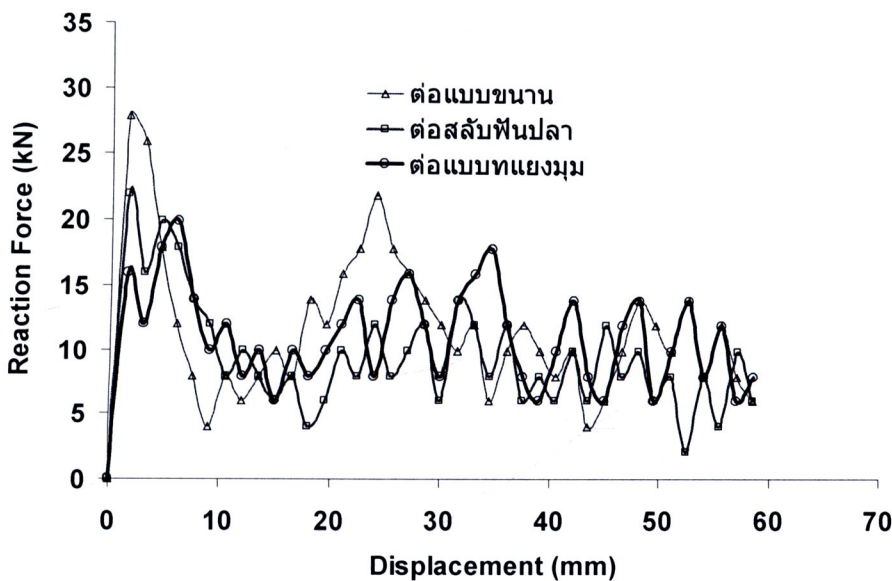
(ข)



(ค)

ภาพที่ 5.1 แสดงรูปแบบการเสียหายของโครงสร้างจากการทดลองภายใต้การแบบกดในแนวแกน

(ก) โครงสร้างแบบขนาด (ข) โครงสร้างแบบทแยงมุม (ค) โครงสร้างแบบสลับฟันปลา

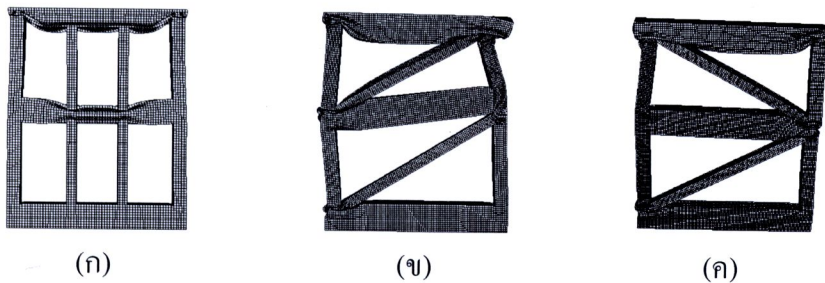


ภาพที่ 5.2 แสดงกราฟค่าการที่กระทำกับระบบทุบตัวจากการทดสอบของโครงสร้างที่ต่อทั้ง 3 แบบ  
ภายใต้ภาระการกดในแนวแกน

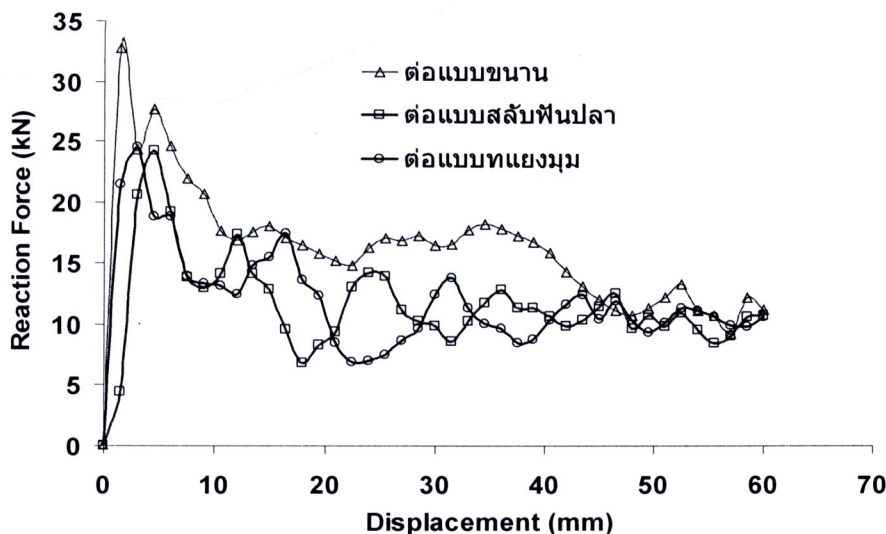
จากราฟในภาพที่ 5.2 แสดงความสัมพันธ์ระหว่างแรงปฎิกิริยาและระบบ  
ทุบตัวของโครงสร้างที่ทดสอบภายใต้ภาระการกดในแนวแกน โดยในแกนนอนแสดงระบบทุบตัว  
ของโครงสร้างตลอดการทดสอบและแกนตั้งแสดงค่าแรงปฎิกิริยาที่ได้จากการทดสอบ จากราฟ  
ของการทดสอบนี้แสดงให้เห็นว่า โครงสร้างที่ต่อแบบขนาดจะมีค่าแรงปฎิกิริยาสูงกว่าโครงสร้างที่  
ต่ออีก 2 แบบที่เหลือ โดยจุดสูงสุดของกราฟในช่วงแรกของโครงสร้างแต่ละแบบนั้นแสดงถึงค่า  
ภาระวิกฤติที่เกิดขึ้น โดยพบว่าค่าภาระวิกฤติของโครงสร้างแบบขนาดมีค่าสูงสุด คือ 28 kN  
รองลงมาเป็นค่าภาระวิกฤติของโครงสร้างแบบสลับพื้นปลาและแบบทแยงมุม ซึ่งมีค่า 22 kN และ  
16 kN ตามลำดับ หลังจากนั้นกราฟทุกเส้นจะแกว่งตัวขึ้นลงสลับกันไปเรื่อยๆ ซึ่งเป็นลักษณะทั่วไป  
ของกราฟที่ได้จากการทดสอบภายใต้การชน ค่าพลังงานคุณซับของโครงสร้างก็คำนวณจากพื้นที่ใต้  
กราฟนี้ และได้แสดงไว้ในตารางที่ 5.1

### (1.2) ผลการทดสอบด้วยแบบจำลอง FEA

ผลการจำลองด้วย FEA แสดงในภาพที่ 5.3 ซึ่งเป็นรูปแบบการเสียหายจากการทดสอบด้วยวิธี FEA ภายใต้ภาระการกดในแนวแกน โดยในภาพที่ 5.3 (ก) เป็นผลการทดสอบของโครงสร้างที่ต่อแบบขนาดซึ่งมีลักษณะการเสียหายบริเวณส่วนคานโครงสร้างหลักเป็นส่วนใหญ่ ส่วนภาพที่ 5.3 (ข) และภาพที่ 5.3 (ค) เป็นรูปแบบการยุบตัวของโครงสร้างที่ต่อแบบทแยงมุมและแบบสลับพื้นปลา ตามลำดับ โดยลักษณะการเสียหายที่ได้จากการทดสอบด้วย FEA นั้นมีลักษณะคล้ายกับผลที่ได้จากการทดสอบมาก



ภาพที่ 5.3 แสดงรูปแบบการเสียหายของโครงสร้างจากการทดสอบด้วยวิธี FEA ภายใต้ภาระการกดในแนวแกน (ก) โครงสร้างแบบขนาด (ข) โครงสร้างแบบทแยงมุน (ค) โครงสร้างแบบสลับฟันปลา



ภาพที่ 5.4 แสดงกราฟค่าภาระที่กระทำกับระยะยุบตัวจากการทดสอบด้วย FEA ของโครงสร้างทั้ง 3 แบบ ภายใต้ภาระการกดในแนวแกน

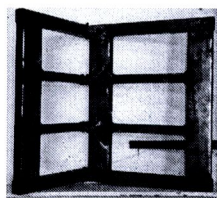
ภาพที่ 5.4 เป็นกราฟค่าภาระและระยะยุบตัวที่ได้จากการทดสอบด้วยวิธี FEA ภายใต้ภาระการกดในแนวแกน ซึ่งจากการแสดงให้เห็นว่าในช่วงแรกที่เกิดภาระวิกฤติ โครงสร้างที่ต่อแบบขนาด มีค่ามากกว่าอีก 2 แบบ คือประมาณ 34 kN หลังจากนั้นจะลดลงแต่เส้นกราฟที่บังคับมีค่าสูงกว่าเส้นกราฟของอีก 2 แบบ ตลอดการทดสอบ ส่วนการต่อแบบทแยงมุน และต่อแบบสลับฟันปลา มีค่าภาระวิกฤติใกล้เคียงกัน คือประมาณ 24 kN จากดักษณ์กราฟดังกล่าว สรุปได้ว่าทั้งผลการทดลองและผลการทดสอบด้วยวิธี FEA โครงสร้างที่ต่อแบบขนาดจะมีการรับภาระได้มากกว่าโครงสร้างที่ต่อแบบทแยงมุนและแบบสลับฟันปลา

## (2) การตอบสนองของชิ้นส่วนโครงสร้างด้านข้างภายใต้ภาระแบบดัด

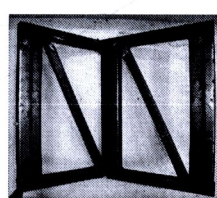
การทดสอบการชนภายในได้ภาระแบบดัดจะเก็บผลของค่าภาระที่ใช้ดัด ในรูปของโน้ม-menต์ดัด และมุมดัดที่เกิดขึ้นตลอดการทดสอบ โดยมุมดัดที่เกิดขึ้นวัดเป็นมุมเรเดียน ( $Rad$ ) ทำการทดสอบ 2 วิธีเปรียบเทียบกัน ได้แก่ การทดลองจริงเทียบกับการทดลองด้วยแบบจำลอง FEA

### (2.1) ผลการทดสอบด้วยการทดลองจริง

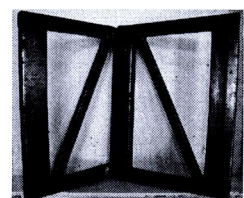
รูปแบบการเสียหายของชิ้นส่วนโครงสร้างภายใต้ภาระการดัดแสดงในภาพที่ 5.5



(ก)



(ข)



(ค)

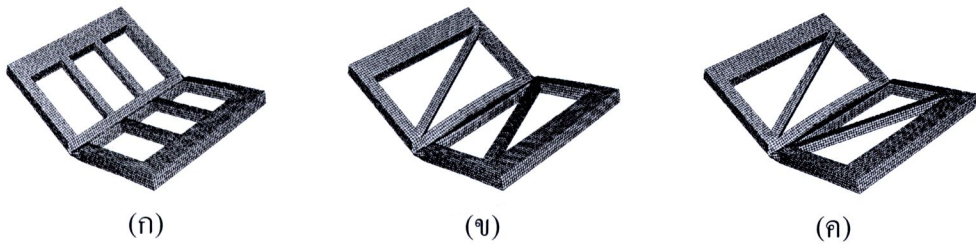
ภาพที่ 5.5 แสดงรูปแบบการเสียหายของโครงสร้างจากการทดสอบจริง ภายใต้ภาระแบบดัด  
(ก) โครงสร้างแบบบานาน (ข) โครงสร้างแบบทแยงมุม (ค) โครงสร้างแบบลับฟันปลา

ภาพที่ 5.5 เป็นรูปแบบการเสียหายที่ได้จากการทดลองจริงภายใต้ภาระแบบดัดของโครงสร้างทั้ง 3 แบบ โดยภาพที่ 5.5 (ก) เป็นโครงสร้างที่ต่อแบบบานานมีลักษณะการเสียรูปตรงกับกลางของโครงสร้าง เนื่องจากในจุดนี้เป็นแนวที่หัวคดของเครื่องทดสอบสัมผัสกับชิ้นส่วน ซึ่งการเสียหายมักเกิดขึ้นตรงบริเวณรอยต่อระหว่างชิ้นส่วนเสริมกับชิ้นส่วนหลักของโครงสร้าง ในภาพที่ 5.5 (ข) เป็นรูปแบบการเสียหายของโครงสร้างที่ต่อแบบทแยงมุม พบว่ามีการยุบตัวบริเวณตรงกลางของโครงสร้างระหว่างชิ้นส่วนคานหลักกับชิ้นส่วนที่ใช้ต่อเสริมเข้าด้วยกัน การต่อแบบบานาน และภาพที่ 5.5 (ค) เป็นลักษณะการเสียรูปของโครงสร้างที่ต่อแบบลับฟันปลา ซึ่งมีลักษณะการเสียหายที่คล้ายกับสองแบบแรกที่กล่าวมาแล้ว

### (2.2) ผลการทดสอบด้วยวิธี FEA

ภาพที่ 5.6 เป็นรูปแบบการเสียหายของโครงสร้างจากการทดสอบด้วยวิธี FEA ภายใต้ภาระการดัด จากภาพสังเกตได้ว่าการเสียหายจะเกิดขึ้นบริเวณส่วนกลางของโครงสร้าง เป็นหลัก ซึ่งโครงสร้างทั้ง 3 แบบมีลักษณะการเสียหายที่คล้ายกัน และเหมือนกับรูปแบบการ

เสียหายที่ได้จากการทดสอบจริง แต่หากพิจารณาในแง่ของผลลัพธ์งานคุณภาพของแต่ละโครงสร้างแล้ว ผลที่ได้มีความแตกต่างกันน้ำหนัก ดังจะได้อธิบายในหัวข้อต่อไป

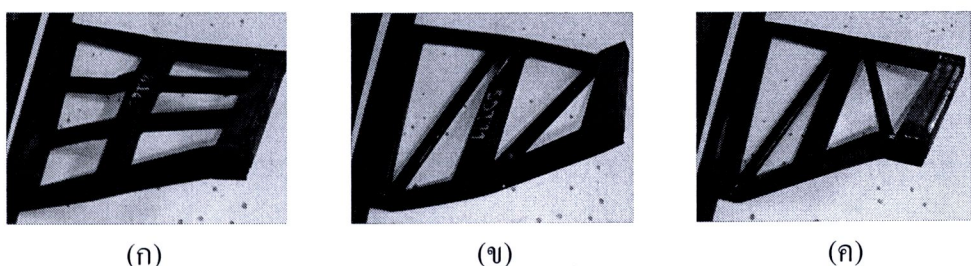


ภาพที่ 5.6 แสดงรูปแบบการเสียหายภายใต้ภาระการดัด โดยการทดสอบด้วยวิธี FEA (ก) โครงสร้างต่อบนนาน (ข) โครงสร้างต่อบนทแยงมุม (ค) โครงสร้างต่อบนสลับฟันปลา

### (3) การตอบสนองของชิ้นส่วนโครงสร้างด้านข้างภายใต้ภาระแบบบิด

การทดสอบการชนภายใต้ภาระแบบบิดนี้จะเก็บผลที่ได้จากการทดสอบ เช่น เดียว กับผลการทดสอบแบบดัด คือจะเก็บผลของค่าภาระที่ใช้บิดและมุนบิดที่เกิดขึ้นตลอดการทดสอบ โดยมุนบิดที่เกิดขึ้นวัดเป็นมุนเรเดียน ( $Rad$ ) ทำการทดสอบ 2 วิธีเปรียบเทียบกัน ได้แก่การทดสอบจริงเทียบกับการทดสอบด้วยแบบจำลอง FEA

#### (3.1) ผลการทดสอบด้วยการทดสอบจริง



ภาพที่ 5.7 แสดงรูปแบบการเสียหายของโครงสร้างที่ได้จากการทดสอบภายใต้ภาระกระทำแบบบิด (ก) โครงสร้างแบบนาน (ข) โครงสร้างแบบทแยงมุม (ค) โครงสร้างแบบสลับฟันปลา

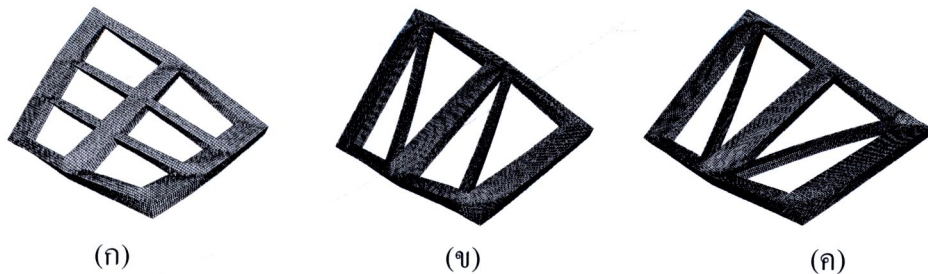
ภาพที่ 5.7 แสดงรูปแบบการเสียหายของโครงสร้างภายใต้ภาระการบิดที่ได้จากการทดสอบ ในภาพที่ 5.7 (ก) แสดงรูปแบบการเสียหายของโครงสร้างที่ต่อบนนาน โดยจะสังเกตเห็นการเสียหายที่บริเวณส่วนขอบและส่วนเสริมของโครงสร้าง ส่วนภาพที่ 5.7 (ข) และ 5.7 (ค) แสดงรูปแบบการเสียหายของโครงสร้างที่ต่อบนทแยงมุมและแบบสลับฟันปลา ซึ่งมีการ



เสียหายบริเวณส่วนขอบเป็นหลักและชิ้นส่วนที่เกิดขึ้นมาใหม่ เช่น แรงจะเกิดการเสียหายเล็กน้อย เมื่อเทียบกับการต่อแบบบานาน

### (3.2) ผลการทดสอบด้วยวิธี FEA

ภาพที่ 5.8 แสดงรูปแบบการเสียหายของชิ้นส่วนโครงสร้างจากการทดสอบด้วยวิธี FEA ภายใต้ภาระการบิด



ภาพที่ 5.8 แสดงรูปแบบการเสียหายจากการทดสอบด้วยวิธี FEA ภายใต้ภาระที่กระทำแบบบิด (ก)  
โครงสร้างแบบบานาน (ข) โครงสร้างแบบทแยงมุม (ค) โครงสร้างแบบลับฟันปลา

จากภาพที่ 5.8 จะเห็นว่ารูปแบบการเสียหายที่เกิดขึ้นของโครงสร้างทั้ง 3 แบบนี้จะเสียหายที่ตรงบริเวณส่วนขอบและบริเวณมุมตรงจุดต่อเป็นหลัก ซึ่งมีลักษณะคล้ายกับผลของการทดลองจริง ส่วนค่าของพลังงานคุณภาพของโครงสร้างทั้ง 3 แบบ ได้แสดงไว้ในตารางที่ 5.1 ซึ่งจะอธิบายในหัวข้อต่อไป

#### 5.1.1.2 ผลการสอนเทียนโดยพิจารณาค่าพลังงานคุณภาพของโครงสร้าง

จากการศึกษารังนี้ ได้คำนวณผลของการคุณภาพของพลังงานและการคุณภาพของชิ้นส่วนโครงสร้างด้านข้างโดยสาร ซึ่งได้แสดงผลไว้ในตารางที่ 5.1 และจะได้อภิปรายผลดังต่อไปนี้

**ตารางที่ 5.1** ผลการคำนวณที่ได้จากการทดสอบและตัวแปรที่เกี่ยวข้องภายใต้ภาระที่กระทำแบบกดในแนวแกน ภาระแบบดัดและภาระแบบบิด

ชนิดการต่อ	น้ำหนักชิ้นงาน (kg)	Stroke (mm)	องศาการบิด/ดัด (Rad.)	Experiments				Simulation (FEA)			
				$P_{mean}$ (kN)	Moment (N.m)	Ea (N.m)	Es (N.m/kg)	$P_{mean}$ (kN)	Moment (N.m)	Ea (N.m)	Es (N.m/kg)
<b>Axial load</b>											
ขนาน	1.67	60	-	11.47	-	688.2	412.1	16.06	-	963.78	577.11
ทแบ่งมุม	1.65	60	-	10.84	-	650.4	394.18	11.79	-	707.4	428.73
สลับพื้นปลา	1.65	60	-	9.18	-	588.6	356.73	11.48	-	688.8	417.45
<b>Bending load</b>											
ขนาน	1.67	-	0.17	3.01	526.75	89.55	53.62	4.17	729.75	124.1	74.31
ทแบ่งมุม	1.65	-	0.17	2.64	462	78.54	47.6	3.83	670.25	113.94	69.05
สลับพื้นปลา	1.65	-	0.17	2.78	486.5	82.71	50.13	3.98	696.5	118.41	71.76
<b>Twisting load</b>											
ขนาน	1.67	-	0.28	2.13	148.92	41.67	24.95	2.33	163.2	45.69	27.35
ทแบ่งมุม	1.65	-	0.28	2.38	166.79	46.7	27.96	3.43	240.21	67.26	40.76
สลับพื้นปลา	1.65	-	0.28	2.39	167.02	46.76	28.34	3.39	237.49	66.5	40.3

### (1) ผลการทดสอบภายใต้ภาระแบบกดในแนวแกน

ผลการทดลองจริงภายใต้ภาระแบบกดในแนวแกน พบว่าโครงสร้างที่ต่อแบบขนานให้ค่าการดูดซับพลังงานมากที่สุด โดยสามารถดูดซับพลังงานได้ 688.2 N.m ซึ่งมากกว่าโครงสร้างที่ต่อแบบทแบ่งมุมและต่อแบบสลับพื้นปลา โดยทั้งสองสามารถดูดซับพลังงานได้เท่ากัน 650.4 N.m และ 588.6 N.m ตามลำดับ สำหรับการทดสอบด้วยวิธี FEA การต่อแบบขนานสามารถดูดซับพลังงานได้ 963.78 N.m ส่วนการต่อแบบทแบ่งมุมและแบบสลับพื้นปลาโครงสร้างสามารถดูดซับพลังงานได้เท่ากัน 707.4 N.m และ 688.8 N.m ตามลำดับ ผลการศึกษาแสดงให้เห็นว่า โครงสร้างที่มีลักษณะการต่อแบบขนาน สามารถที่จะดูดซับพลังงานได้มากกว่าการต่ออีกสองแบบ ซึ่งผลของ FEA มีความสอดคล้องกับผลการทดลองจริง

### (2) การทดสอบภายใต้ภาระแบบดัด

ผลการทดลองของโครงสร้างภายใต้ภาระแบบดัด กรณีโครงสร้างที่ต่อแบบขานานสามารถคดซับพลังงานจากการดัดเท่ากับ 89.55 N.m ส่วนโครงสร้างที่ต่อทอยแบงมุนคุดซับพลังงานได้ 78.54 N.m และโครงสร้างที่ต่อแบบสลับฟันปลาคุดซับพลังงานได้เท่ากับ 82.71 N.m จากผลการทดสอบจะสังเกตุเห็นว่าการต่อโครงสร้างแบบขานานจะให้ค่าการคดซับพลังงานจากการดัดมากกว่าการต่อแบบอื่นๆ สำหรับผลจากการทดสอบด้วยโปรแกรม FEA คือ การต่อโครงสร้างแบบขานานสามารถคดซับพลังงานได้เท่ากับ 124.1 N.m การต่อแบบทอยแบงมุนให้ค่าการคดซับพลังเท่ากับ 113.94 N.m และการต่อแบบสลับฟันปลาสามารถคดซับพลังงานได้เท่ากับ 118.41 N.m จะเห็นได้ว่า การต่อโครงสร้างแบบขานานสามารถคดซับพลังงานจากการดัดได้มากกว่าโครงสร้างแบบอื่นๆ และ พนวณผลการคำนวณจากโปรแกรมมีความสอดคล้องกับการทดลองจริง

### (3) การทดสอบภายใต้ภาระแบบบิด

การทดสอบโครงสร้างภายใต้ภาระแบบบิด ผลที่ได้จากการทดลอง คือ โครงสร้างแบบขานานสามารถคดซับพลังจากการบิดได้เท่ากับ 41.67 N.m การต่อแบบทอยแบงมุนสามารถคดซับพลังงานได้เท่ากับ 46.7 N.m และการต่อแบบสลับฟันปลาได้ 46.76 N.m ซึ่งจะเห็นว่า โครงสร้างที่ต่อแบบสลับฟันปลาและต่อแบบทอยแบงมุนมีค่าการคดซับพลังงานจากการบิดใกล้เคียงกันมาก ซึ่งเมื่อเทียบกับการต่อแบบขานานแล้วพบว่าโครงสร้างที่ห้องส่องสามารถคดซับแรงบิดได้มากกว่าโครงสร้างที่ต่อแบบขานาน ส่วนผลการทดสอบจากโปรแกรม FEA จะได้ผลการคดซับ พลังงานของโครงสร้างแบบขานานเท่ากับ 45.69 N.m การต่อโครงสร้างแบบทอยแบงมุนให้ผลการคดซับพลังงานเท่ากับ 67.26 N.m และโครงสร้างที่ต่อแบบสลับฟันปลาสามารถคดซับพลังงานได้เท่ากับ 66.50 N.m ซึ่งจะเห็นว่าการต่อโครงสร้างแบบทอยแบงมุนและแบบสลับฟันปลา มีความสามารถใกล้เคียงกัน โดยภายในภาระแบบบิดทั้งคู่ให้ผลการคดซับพลังงานได้ดีกว่าการต่อแบบขานาน และ ให้ผลสอดคล้องกันกับผลการทดลองจริง

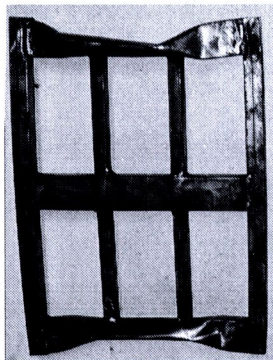
#### 5.1.2 ผลการสอบเทียบภายใต้ภาระการชนด้วยความเร็วสูง

ในการสอบเทียบโปรแกรม FEA กับการทดลองด้วยความเร็วสูงนี้ ได้ใช้ชิ้นงานแบบเดียวกับที่ใช้ในการทดลองด้วยความเร็วต่ำ แต่ใช้รูปแบบการกระแทกในแนวแกนเพียงแบบเดียว เนื่องจากข้อจำกัดของอุปกรณ์ทดลอง ส่วนเงื่อนไขการทดลองสามารถรายละเอียดได้ในบทที่ 4 และผลการเปรียบเทียบการศึกษาส่วนนี้มีดังนี้

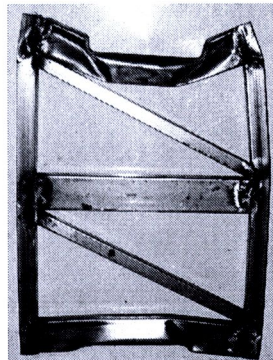
### 5.1.2.1 ผลการสอนเที่ยบโดยพิจารณาการตอบสนองของชิ้นส่วนโครงสร้าง

#### (1) ผลการทดสอบด้วยทดลองจริง

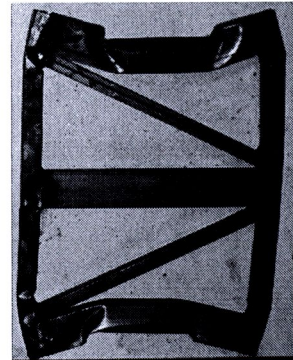
รูปแบบการเสียหายของโครงสร้างทั้ง 3 แบบ เมื่อรับแรงกระแทกในแนวแกนแสดงในภาพที่ 5.9 ชี้งพบว่าโครงสร้างทั้ง 3 แบบ มีรูปแบบการเสียหายคล้ายกัน กล่าวคือการยุบตัวแบบดัดที่บริเวณกึ่งกลางของคานด้านบนชี้งถูกกระแทกโดยตรงจากตุ้มนำหนัก โดยพบว่าโครงสร้างที่ต่อแบบขนาดมีการยุบตัวน้อยที่สุด เนื่องจากมีห่อนเหล็ก 2 ห่อน ที่วางขนานกัน ช่วยดูดซับแรง ในการศึกษานี้ได้บันทึกค่าของแรงปฎิกิริยาตลอดการกระแทกที่เวลาต่างๆ และเขียนเป็นกราฟความสัมพันธ์ระหว่างค่ากระแสและเวลา ดังแสดงในภาพที่ 5.10 ทั้งนี้ขออธิบายเพิ่มเติมว่าใน การทดลองด้วยความเร็วสูงนี้ไม่สามารถวัดค่าการยุบตัวของโครงสร้างในระหว่างการเสียหายได้ เนื่องจากการยุบตัวเกิดขึ้นอย่างรวดเร็ว ดังนั้นจึงมักนิยมเขียนกราฟของค่ากระแสและเวลา มากกว่า กราฟของค่ากระแสและระยะยุบตัวดังที่ใช้ในการศึกษาความเร็วต่อ



(ก)



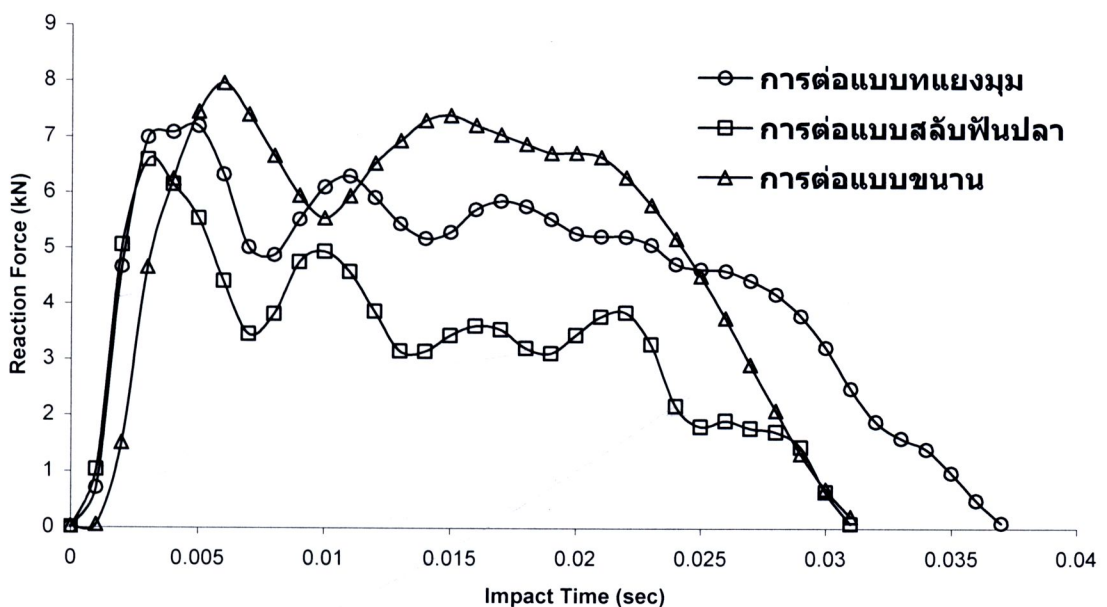
(ข)



(ค)

ภาพที่ 5.9 ลักษณะการเสียหายของโครงสร้างทั้ง 3 แบบ จากการทดลองกระแทกด้วยความเร็วสูง  
(ก) โครงสร้างแบบขนาด (ข) โครงสร้างแบบทแยงมุม (ค) โครงสร้างแบบสลับฟันปลา

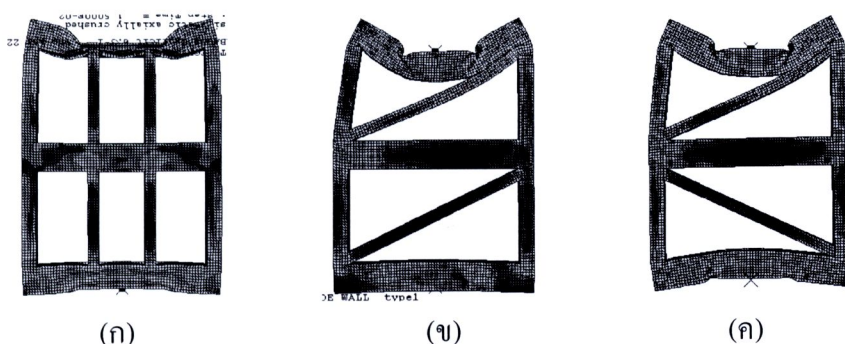
เมื่อพิจารณากราฟของแรงปฎิกิริยาและเวลา ในภาพที่ 5.10 พบว่าลักษณะกราฟจะมีการแกว่งตัวสูงสุดในรอบแรก จากนั้นกราฟจะตกลงมาและแกว่งตัวต่ำลงจนถึงสุดการกระแทก นอกจากนี้จะสังเกตเห็นว่าโครงสร้างที่ต่อแบบขนาดมีค่าของแรงปฎิกิริยาสูงกว่าของโครงสร้างอีก 2 แบบตลอดการกระแทก



ภาพที่ 5.10 กราฟแรงปฏิกิริยาและเวลาของโครงสร้างทึ้ง 3 แบบ จากการทดลองกระแทกด้วยความเร็วสูง

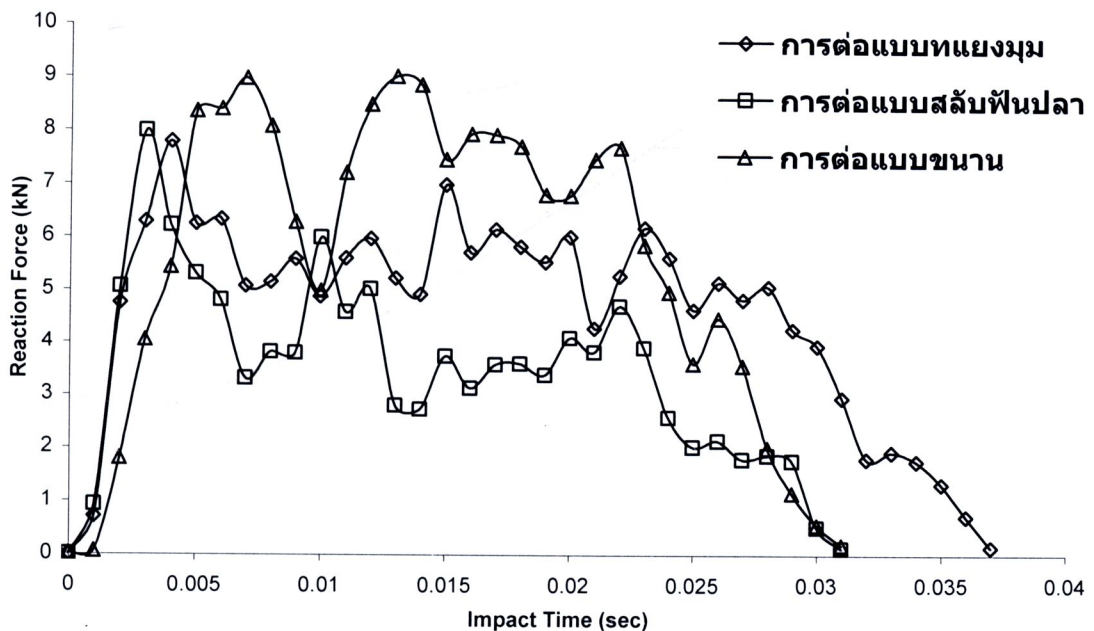
#### (2) ผลการทดสอบด้วยแบบจำลอง FEA

รูปแบบการเสียหายของโครงสร้างทึ้ง 3 แบบ ที่จำลองจากโปรแกรม FEA เมื่อรับแรงกระแทกในแนวแกนแสดงในภาพที่ 5.11



ภาพที่ 5.11 ลักษณะการเสียหายของโครงสร้างทึ้ง 3 แบบ จากการจำลองด้วย FEA ภายใต้การกระแทกด้วยความเร็วสูง (ก) โครงสร้างแบบบานาน (ข) โครงสร้างแบบตื้น (ค) โครงสร้างแบบสลับพื้นปลา

จากภาพที่ 5.11 จะเห็นว่าแบบจำลองโครงสร้างทุกแบบมีรูปแบบการเสียหายคล้ายกับผลจากการทดลอง กล่าวคือมีการยุบตัวแบบดัดที่บริเวณกึ่งกลางของคานค้านบนซึ่งถูกแรงกระแทกโดยตรงจากตู้น้ำหนัก โดยพบว่าโครงสร้างที่ต่อแบบขานามีการยุบตัวน้อยที่สุด ส่วนกราฟความสัมพันธ์ระหว่างค่าภาระและเวลา ที่ได้จากแต่ละแบบจำลองแสดงในภาพที่ 5.12



ภาพที่ 5.12 กราฟแรงปฏิกิริยาและเวลาของโครงสร้างทั้ง 3 แบบ จากการจำลองด้วย FEA ภายใต้การกระแทกด้วยความเร็วสูง

เมื่อพิจารณากราฟของแรงปฏิกิริยาและเวลา ที่ได้จากแบบจำลองทั้ง 3 แบบ ซึ่งแสดงในภาพที่ 5.12 พบว่ากราฟมีลักษณะคล้ายกราฟจากการทดลอง โดยพบว่ามีการแกว่งตัวสูงสุดในรอบแรก จากรูปนี้จะตกลงมาและแกว่งตัวต่ำลงจนถึงสุดการกระแทก นอกจากนี้จะสังเกตเห็นว่าโครงสร้างที่ต่อแบบขานามีค่าของแรงปฏิกิริยาสูงกว่าของโครงสร้างอีก 2 แบบตลอดการกระแทก ซึ่งเป็นพฤติกรรมที่คล้ายกับการทดลองมาก

### 5.1.2.2 ผลการสอนเทียนโดยพิจารณาค่าพลังงานดูดซับของโครงสร้าง

ค่าดูดซับพลังงานของโครงสร้างที่ทดสอบภายใต้แรงกระแทกนั้นคำนวณโดยการหาค่าการเฉลี่ยจากการแรงปฏิกิริยาและเวลาของโครงสร้างแต่ละแบบ จากรูปนี้นำค่าที่ได้มาคูณกับระยะยุบสุดท้ายของโครงสร้าง (จากการวัด ค่าที่ได้คือ 105 mm) ซึ่งผลที่ได้แสดงในตารางที่ 5.2

**ตารางที่ 5.2 ผลการคำนวณค่าการดูดซับพลังงานที่ได้จากการทดสอบและตัวแปรที่เกี่ยวข้องภายใต้ภาระความเร็วสูง**

ผลการคำนวณพลังงานดูดซับของแผงโครงสร้างด้านข้างโดยยอนต์โดยสาร						
ชนิดการต่อ	Experiment			Simulation (FEA)		
	$P_{mean}$ (kN)	Stroke (mm)	$E_a$ (kN.m)	$P_{mean}$ (kN)	Stroke (m.m)	$E_a$ (kN.m)
การต่อแบบขาน	5.06	105	531.38	5.52	105	579.49
การต่อแบบทแยงมุม	4.34	105	456.59	4.50	105	472.86
การต่อแบบสลับฟันปลา	3.23	105	339.64	3.42	105	339.22

จากข้อมูลในตารางที่ 5.2 จะเห็นว่า ในกรณีการทดลองนั้น โครงสร้างแบบต่อขานสามารถดูดซับพลังงานจากการกระแทกได้ประมาณ 531.38 kN.m ซึ่งสูงกว่าค่าการดูดซับพลังงานของโครงสร้างแบบต่อทแยงมุมและแบบสลับฟันปลา ที่ดูดซับพลังงานได้เท่ากับ 456.59 kN.m และ 339.64 kN.m ตามลำดับ ส่วนค่าพลังงานดูดซับที่ได้จากการจำลองด้วย FEA นั้นมีค่าสูงกว่าการทดลอง โดยพบว่าแบบจำลองโครงสร้างแบบต่อขานสามารถดูดซับพลังงานจากการกระแทกได้ประมาณ 579.49 kN.m ซึ่งสูงกว่าค่าการดูดซับพลังงานของแบบจำลองโครงสร้างแบบต่อทแยงมุมและแบบสลับฟันปลา ที่ดูดซับพลังงานได้เท่ากับ 472.86 kN.m และ 339.22 kN.m ตามลำดับ เมื่อทำการเปรียบเทียบผลที่ได้จากการทดลอง และจากแบบจำลองทาง FEA พบว่าค่าพลังงานดูดซับที่ได้จากแบบจำลองนั้นมีค่าสูงกว่าค่าที่ได้จากการทดลองเสมอ โดยพบว่ามีค่ามากกว่าประมาณ 1%-8% ซึ่งถือว่าเป็นช่วงที่ยอมรับได้

จากการเปรียบเทียบผลการทดลองและผลการจำลองด้วย FEA ที่ผ่านมาจะเห็นว่าการตอบสนองของโครงสร้างมีลักษณะเดียวกัน ทั้งลักษณะกราฟของแรงปฎิกิริยาและรูปแบบการเสียหายก็คล้ายกัน โดยพบทั้งในกรณีการทดสอบด้วยความเร็วต่ำและการทดสอบด้วยความเร็วสูง แต่ในเบื้องต้นค่าพลังงานดูดซับแล้วพบว่ายังมีค่าแตกต่างกันอยู่บ้าง ทั้งนี้หากพิจารณาค่าพลังงานดูดซับที่คำนวณได้ ในกรณีของความเร็วต่ำซึ่งแสดงในตารางที่ 5.1 จะพบว่าค่าที่ได้จากการ FEA มักให้ค่าตอบที่สูงกว่าค่าจากการทดลองเสมอ โดยจากการเปรียบเทียบผลกระทบของริงกับวิธี FEA จะมีความผิดพลาดที่เกิดขึ้นเฉลี่ยประมาณ 28% สำหรับการทดสอบโครงสร้างที่ต่อแบบขาน 8% และ 14.5% สำหรับการทดสอบโครงสร้างที่ต่อแบบทแยงมุมและแบบสลับฟันปลา ตามลำดับ

แต่ในกรณีของการทดสอบด้วยความเร็วสูง พนวิ่งค่าที่ได้จากการทดลองกับการจำลองด้วย FEA ให้ผลที่ใกล้เคียงกันมาก โดยพบความผิดพลาดสูงสุดเพียง 8% เท่านั้น ทั้งนี้ความแตกต่างที่เกิดขึ้นอาจเกิดขึ้นจากสาเหตุต่อไปนี้

(1) ชิ้นงานจริงนั้นเป็นการผลิตจากการประกอบเหล็กหอยชินเข้าด้วยกันย้อมมิจุดอ่อน และมีตัวแปรเพิ่มขึ้น แต่แบบจำลองทางคอมพิวเตอร์สามารถกำหนดให้โครงสร้างที่ประกอบกันเป็นเนื้อเดียวกันได้โดยจุดต่อในแบบจำลองจะมีความสมบูรณ์ที่สุด

(2) ใน การประกอบชิ้นงานเพื่อการทดลองจริง ได้ใช้วิธีการเชื่อมต่อชิ้นงานโดยให้แนวเชื่อมเกิดขึ้นรอบชิ้นงานบริเวณจุดต่อใหม่ๆที่สุด แต่จริงๆแล้วอาจมีบางบริเวณที่รอยเชื่อมเข้าไปไม่ถึง ส่งผลให้ชิ้นงานจริงรับแรงได้น้อยกว่าที่ควรจะเป็น

(3) คุณสมบัติของเหล็กที่ใช้ทดสอบมีความไม่คงที่ตลอดทั้งชิ้นงาน เช่น ความหนาของเหล็กที่ใช้ แต่สำหรับการสร้างแบบจำลองทางคอมพิวเตอร์นั้นสามารถกำหนดความหนาให้เท่ากันทั้งโครงสร้างได้ซึ่งมีความแน่นอนกว่า

(4) ใน การทดสอบด้วยเครื่องจับยึดชิ้นงานที่สร้างขึ้นอาจมีการเคลื่อนตัวในระหว่างการทดสอบ อันจะเป็นผลให้ทิศทางของแรงกดดันเปลี่ยนไป ซึ่งอาจเป็นผลกับตัวแปรที่พิจารณาได้ส่วนในการทดสอบด้วยวิธี FEA เราสามารถกำหนดขอบเขตและเงื่อนไขต่างๆ ได้ตามต้องการ เช่น ค่าความเสียดทานของผิวสัมผัสระหว่างแผ่นกดชิ้นงานกับผิวชิ้นงานที่ชนกัน เป็นต้น

กล่าวโดยสรุป จะเห็นว่าเมื่อเปรียบเทียบผลการศึกษาด้วยโปรแกรม FEA และผลจากการทดลองจะพบว่าค่าพลังงานคุดชับที่ได้จากการทดลองจะมีค่าน้อยกว่าค่าที่คำนวณได้จาก FEA เสมอ ทั้งนี้อาจเกิดจากสาเหตุของความไม่สมบูรณ์ของโครงสร้างจริงที่ใช้ในการทดลองดังกล่าว ซึ่งความไม่สมบูรณ์เหล่านี้ส่งผลให้พลังงานคุดชับที่ชิ้นงานจริงคุดชับได้มีค่าน้อยลง อย่างไรก็ตามจะเห็นว่า ผลที่ได้จาก FEA และผลจากการทดลองต่างกันให้ผลที่มีแนวโน้มเหมือนกัน ดังนั้นการประยุกต์ใช้โปรแกรม FEA ในการคำนวณโครงสร้างจึงสามารถช่วยทำงานของการเปลี่ยนแปลงของพลังงานคุดชับ ได้ นอกจากนี้หากพิจารณาข้อมูลในตารางที่ 5.1 และ 5.2 อาจกล่าวได้ว่าโครงสร้างที่ต่อแบบไหนมีคุณสมบัติในการรับภาระจากการชนได้ดี กล่าวคือ สามารถรับภาระในแนวแกนและแนวคัดได้ดีกว่า โครงสร้างอีก 2 ชนิด ยกเว้นในกรณีภาระบิด ซึ่งโครงสร้างแบบต่อสลับฟันปลาและต่อแบบเฉียงจะให้ค่าการคุดชับพลังงานได้ใกล้เคียงกัน และดีกว่าการต่อแบบขนาน

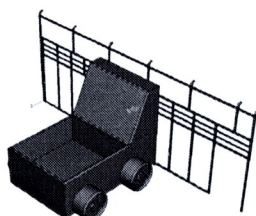
## 5.2 ผลการทดสอบการชนของโครงสร้างด้านข้างโดยสารแบบเต็มแมง

หลังจากได้ทำการสอนเทียบโปรแกรม FEA กับผลการทดลองแล้ว จึงได้นำโปรแกรมดังกล่าวมาขยายผลในการศึกษาการเสียหายของโครงสร้างขนาดจริง ซึ่งในหัวข้อนี้จะแสดงผลการ

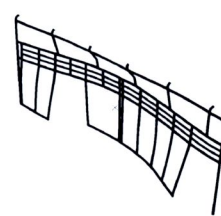
ทดสอบการชนของโครงสร้างแพงค์ด้านข้างแบบขนาดจริง โดยได้ทำการทดสอบเป็น 2 กรณี คือ การทดสอบการชนด้านข้างในแนวตั้งจากกับโครงสร้าง และการทดสอบการชนในแนวแกน ใน การศึกษาส่วนนี้จะใช้การจำลองโดย FEA อย่างเดียวเท่านั้น เนื่องจากโครงสร้างมีขนาดใหญ่และไม่สามารถใช้การทดลองจริงได้ โดยรูปแบบการเสียหายและผลการคุณชั้บพลังงานของโครงสร้างที่ได้จากการทดสอบ จะแสดงรายละเอียดแต่ละกรณีไว้ในหัวข้อที่ 5.2.1 และ 5.2.2

### 5.2.1 การตอบสนองของโครงสร้างด้านข้างรถยกต์โดยสารภายใต้การชนในแนวตั้งจาก

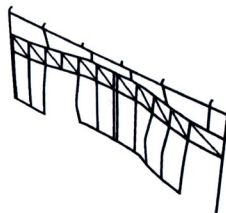
ผลจากการทดสอบการชนของโครงสร้างด้านข้างรถยกต์โดยสารที่ต่อทั้ง 3 แบบ มีลักษณะการเสียหายของโครงสร้างแบบต่างๆ ดังแสดงไว้ในภาพที่ 5.13 ซึ่งเป็นรูปแบบการเสียหายของโครงสร้างที่รับภาระการชนด้านข้างในแนวตั้งจากกับโครงสร้าง โดยโครงสร้างถูกชนให้ยุบลงไปเป็นระยะทางประมาณ 320 mm ผลที่ได้จากการทดสอบ ได้แก่รูปแบบการเสียหายของโครงสร้างจะแสดงผลในลักษณะรูปภาพ ดังแสดงรูปที่ 5.13 ส่วนผลการทดสอบที่เป็นค่าของแรงปฏิกิริยาและระยะยุบตัว จะถูกบันทึกโดยโปรแกรม FEA จากนั้นนำมาเขียนกราฟ ดังแสดงในรูปที่ 5.14 ข้อมูลในกราฟนี้จะใช้คำนวณหาค่าพลังงานที่โครงสร้างคุณชั้บได้ต่อไป



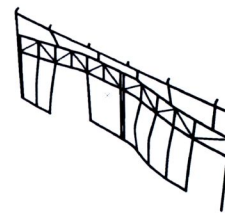
(ก) การเตรียมการก่อนทดสอบ



(ข) โครงสร้างแบบขนาน



(ค) โครงสร้างแบบทแยงมุม

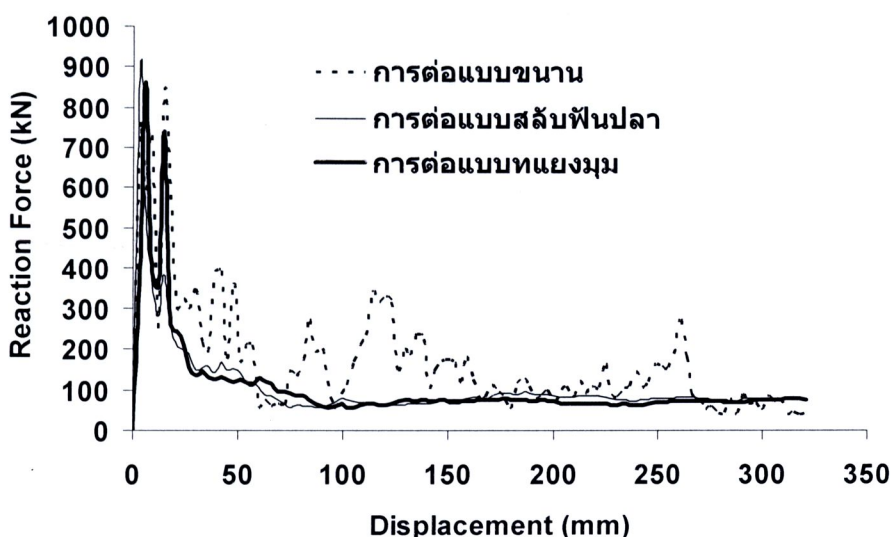


(ง) โครงสร้างแบบสลับพื้นปลา

ภาพที่ 5.13 แสดงรูปแบบการเสียหายของโครงสร้างด้านข้างรถยกต์โดยสารภายใต้ภาระการชนในแนวตั้งจาก

ภาพที่ 5.13 แสดงรูปแบบการเสียหายของแพงค์ด้านข้างรถยกต์โดยสารที่ได้จากการทดสอบการชนด้านข้างในแนวตั้งจากกับโครงสร้างด้วยวิธี FEA โดยในภาพที่ 5.13 (ก)

เป็นลักษณะการเสียรูปของโครงสร้างแบบขนาน ซึ่งจะเสียหายบริเวณกึ่งกลาง โครงสร้างเป็นหลักเนื่องจากเป็นบริเวณที่มีการชนเกิดขึ้น โดยลักษณะของการเสียหายจะมีชิ้นส่วนที่ยุบตัวเข้าไปด้านในของตัวรถ ลักษณะการยุบตัวเข่นี้อาจทำให้ชิ้นส่วนที่ยุบตัวเข้าไปประทับกับผู้โดยสารที่นั่ง ณ บริเวณตำแหน่งนั้นได้ ในภาพที่ 5.13 (ข) และ 5.13 (ค) แสดงลักษณะของการเสียรูปของโครงสร้างที่ต่อแบบที่แบบที่ 2 แบบนี้มีลักษณะคล้ายกับโครงสร้างที่ต่อแบบขนาน คือ ลักษณะการเสียหายจะเกิดการยุบตัวบริเวณตรงกลางของโครงสร้างเป็นหลัก



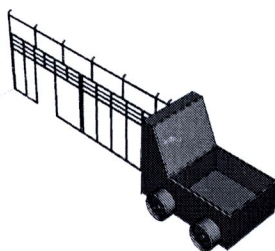
ภาพที่ 5.14 กราฟการณ์และระยะยุบตัวที่ได้จากแบบจำลองทาง FEA ของโครงสร้างภายใต้การชนในแนวตั้งจาก

ภาพที่ 5.14 เป็นกราฟแสดงความสัมพันธ์ระหว่างแรงปฎิกิริยาหรือการณ์กับระยะยุบตัวของโครงสร้างภายใต้การชนทางด้านข้าง ข้อมูลจากการพิพบว่าโครงสร้างด้านข้างที่ต่อแบบขนานมีลักษณะเด่นกราฟที่ค่อนข้างไม่สม่ำเสมอ โดยมีค่าสูงสุดในช่วงแรกที่เกิดการวิภาคติ แล้วกราฟจะคงอยู่ที่ระดับต่ำๆ แต่หลังจากนั้นจะเกิดการแกว่งขึ้ลงสลับกันไปเรื่อยๆ ส่วนโครงสร้างที่ต่อแบบที่แยกนั้นจะเกิดการแกว่งขึ้ลงสลับกันไปเรื่อยๆ ต่างกับลักษณะกราฟที่ใกล้เคียงกันและค่อนข้างราบรื่น ซึ่งข้อดีของลักษณะกราฟเช่นนี้คือ เมื่อเกิดอุบัติเหตุขึ้นโครงสร้างสามารถดูดซับแรงได้โดยที่ไม่เกิดการกระชากหรือเกิดการเปลี่ยนแปลงของอัตราเร่งและอัตราหน่วงอย่างทันทีทันใด ซึ่งจะไม่เกิดอันตรายต่อร่างกายของผู้โดยสาร สำหรับค่าอัตราเร่งนี้มีความสำคัญอย่างมากในการศึกษาด้านการชนของโครงสร้าง โดยได้มีการศึกษาและวิจัยอย่างกว้างขวางและมีข้อเสนอว่า ในการดูดซับแรงกระแทกนั้นไม่ควรก่อให้เกิดอัตราเร่งหรืออัตราหน่วงของโครงสร้างมาก

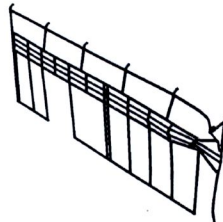
เกินไป [43] เพราะการเปลี่ยนแปลงของอัตราเร่งหรืออัตราหน่วงที่มากเกินไปอาจก่อให้เกิดอันตรายต่อร่างกายของมนุษย์ได้ [38] ส่วนค่าพลังงานคุณภาพซึ่งเป็นโครงสร้างด้านข้างแต่ละแบบคุณภาพได้นั้น จะทำการคำนวณและแสดงไว้ในตารางที่ 5.3 ซึ่งจะได้อธิบายต่อไป

### 5.2.2 การตอบสนองของโครงสร้างด้านข้างรถยกโดยสารภายใต้การชนในแนวแกน

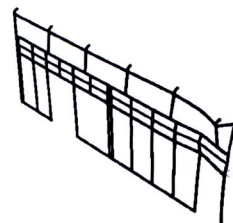
ผลจากการทดสอบการชนในแนวแกนของแผงโครงสร้างด้านข้างรถยกโดยสารทั้งสามแบบมีลักษณะการเสียหายดังแสดงในภาพที่ 5.15 โดยในภาพที่ 5.15 (ก) เป็นภาพแสดงการเตรียมโครงสร้างก่อนการทดสอบในโปรแกรม FEA ส่วนในภาพที่ 5.15 (ข) และภาพที่ 5.15 (ค) เป็นรูปแบบการเสียหายของโครงสร้างที่ต่อแบบบานาเนารีมค่วยเหล็ก 2 ท่อนและต่อเสริมค่วยเหล็ก 1 ท่อน ตามลำดับ ส่วนในภาพที่ 5.15 (จ) เป็นการแสดงรูปแบบการเสียหายของโครงสร้างที่ต่อแบบทแยงมุม และภาพที่ 5.15 (ช) แสดงรูปแบบการเสียหายของโครงสร้างด้านข้างที่ต่อแบบสลับฟันปลา ซึ่งทั้งหมดครับภาระการชนในแนวแกนที่ความเร็วการชนประมาณ 64 km/h และกำหนดให้ระยะหักยุบลงไป 320 mm จากภาพจะสังเกตเห็นว่าโครงสร้างทั้งหมดจะเกิดการเสียหายบริเวณด้านหน้าของโครงสร้างเป็นหลัก เนื่องจากเป็นส่วนที่มีการชนกับกำแพงโดยตรง โดยพบว่าโครงสร้างที่ต่อแบบบานาน (ภาพที่ 5.15 (ข) และ (ค)) จะเสียหายโดยการพับตัวของโครงสร้างซ่องแรก ในขณะที่โครงสร้างที่ต่อแบบทแยงมุมและแบบสลับฟันปลา (ภาพที่ 5.15 (จ) และ (ช)) จะเกิดการพับตัวและโ哥่งตัวมากกว่าโครงสร้างที่ต่อแบบบานาน



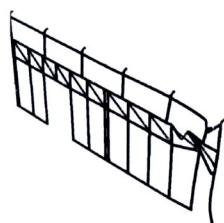
(ก) การเตรียมการก่อนทดสอบ



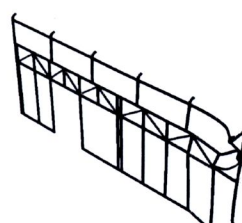
(ข) ต่อแบบบานาน 2 ท่อน



(ค) ต่อแบบบานาน 1 ท่อน

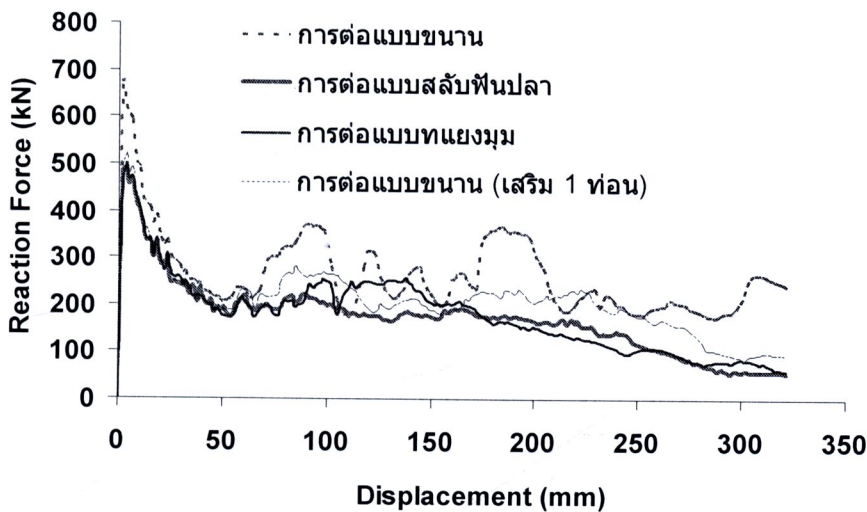


(จ) โครงสร้างแบบทแยงมุม



(ช) โครงสร้างแบบสลับฟันปลา

ภาพที่ 5.15 แสดงรูปแบบการเสียหายของโครงสร้างด้านข้างรถยกโดยสารภายใต้ภาระการชนในแนวแกน



ภาพที่ 5.16 กราฟภาระและระยะบุบตัวที่ได้จากแบบจำลองทาง FEA ของโครงสร้างภายใต้การชนในแนวแกน

ภาพที่ 5.16 แสดงความสัมพันธ์ของแรงปฎิกิริยา กับระยะบุบตัวของโครงสร้างที่ได้จากแบบจำลองโครงสร้างด้านข้างรถบันต์ โดยสารทั้ง 3 แบบ ภายใต้การชนในแนวแกน โดยข้อมูลในแกนนอนของกราฟแสดงระยะบุบตัวและข้อมูลในแกนตั้งคือค่าแรงปฎิกิริยาที่เกิดขึ้นตลอดการทดสอบ ผลการสังเกตพบว่าเส้นกราฟของโครงสร้างที่ต่อแบบขานานมีแนวโน้มค่าแรงปฎิกิริยาสูงกว่าโครงสร้างที่ต่อแบบทแยงมุนและแบบสลับฟันปลา ส่วนลักษณะการแกว่งตัวของกราฟจะมีลักษณะคล้ายกัน ทั้งนี้เมื่อくだจำนวนชั้นส่วนการต่อเสริมโครงสร้างแบบขานานลง 1 ชั้นพบว่าความสามารถในการดูดซับพลังงานของโครงสร้างนี้ค่าลดลงเล็กน้อย แต่ก็ยังมากกว่าค่าของการต่อแบบทแยงมุนและสลับฟันปลาอยู่ดี รายละเอียดส่วนนี้จะบรรยายเพิ่มเติมในหัวข้อที่ 5.2.3

### 5.2.3 ค่าการดูดซับพลังงานที่ได้จากการทดสอบของแพงโครงสร้างด้านข้างทั้ง 3 แบบ

เมื่อนำข้อมูลการทดสอบจากโปรแกรม FEA ของแพงโครงสร้างด้านข้างที่ต่อทั้ง 3 แบบ ภายใต้ภาระการชนด้านข้างและการชนในแนวแกนมาคำนวณหาค่าภาระเฉลี่ย ( $P_{mean}$ ) และระยะบุบตัว ( $Stroke$ ) ของโครงสร้างก็จะสามารถคำนวณหาค่าพลังงานดูดซับ ( $E_a$ ) ของโครงสร้างได้ โดยผลการคำนวณที่ได้จากการทดสอบนี้ได้แสดงไว้ในตารางที่ 5.3

ตารางที่ 5.3 แสดงผลการคำนวณพลังงานคุณซับของโครงสร้างที่ได้จากการทดสอบ

ผลการคำนวณพลังงานคุณซับของแผงโครงสร้างด้านข้างร้อยนต์โดยสาร							
ชนิดการต่อของแผง โครงสร้างด้านข้างร้อยนต์ โดยสาร	การชนในแนวแกน			การชนด้านข้างในทิศทางตั้งฉาก			
	$P_{mean}$ (kN)	Stroke (mm)	$E_a$ (kN.m)	$P_{mean}$ (kN)	Moment (kN.m)	Angle (Rad)	$E_a$ (kN.m)
การต่อแบบบานาน (2 ท่อน)	262.13	320	83.88	170.15	709.94	0.077	54.67
การต่อแบบบานาน (1 ท่อน)	207.32	320	66.34	135.86	566.85	0.077	43.65
การต่อแบบทแยงมุม	178.67	320	57.17	104.67	436.72	0.077	34.45
การต่อแบบสลับฟันปลา	171.45	320	54.86	107.24	447.44	0.077	33.63

จากตารางที่ 5.3 พบร่วางกรณีการทดสอบการชนในแนวแกนของโครงสร้างด้านข้างร้อยนต์โดยสาร โครงสร้างที่ต่อแบบบานานสามารถคุณซับพลังงานจากการชนได้ 83.88 kN.m ซึ่งมีค่าสูงที่สุด ส่วนโครงสร้างที่ต่อแบบทแยงมุมและแบบสลับฟันปลาคุณซับพลังงานได้ใกล้เคียงกัน คือ 57.17 kN.m และ 54.86 kN.m ตามลำดับ ทั้งนี้พบร่ว่างโครงสร้างที่ต่อแบบบานานมีความสามารถในการคุณซับพลังงานมากกว่าโครงสร้างที่ต่อแบบทแยงมุม 9.67 kN.m หรือประมาณ 14.57% และมากกว่าการต่อแบบสลับฟันปลา 11.48 kN.m หรือประมาณ 17.3% ตามลำดับ สำหรับกรณีการทดสอบการชนด้านข้างในแนวตั้งฉาก พบร่ว่างโครงสร้างที่ต่อแบบบานานสามารถคุณซับพลังงานได้ 54.67 kN.m โครงสร้างที่ต่อแบบทแยงมุมได้ 34.45 kN.m และโครงสร้างที่ต่อแบบสลับฟันปลาได้ 33.63 kN.m ซึ่งแสดงให้เห็นว่าโครงสร้างที่ต่อแบบบานานสามารถคุณซับพลังงานจากการชนด้านข้างในแนวตั้งฉากได้ดีกว่าโครงสร้างอีก 2 แบบเช่นกัน โดยสามารถคุณซับพลังงานได้มากกว่าการต่อแบบทแยงมุมและแบบสลับฟันปลาประมาณ 20.22 kN.m และ 19.07 kN.m หรือประมาณ 37% และ 29.39 % ตามลำดับ

สำหรับการต่อแบบบานานแบบใหม่ที่ได้ทำการทดสอบจำนวนชิ้นส่วนที่ต่อเสริมลง 1 ชิ้นต่อช่อง จากเดิมมี 2 ชิ้นส่วนต่อช่อง พบร่ว่างโครงสร้างที่ต่อเสริมแบบบานานเพียง 1 ชิ้น คุณซับพลังงานลดลงประมาณ 20 - 21 % เมื่อเทียบกับกรณีมีชิ้นส่วนต่อช่อง 2 ชิ้น ในทุกรูปแบบการชน ซึ่งถือว่าลดลงไม่มากนัก อย่างไรก็ตามพบว่าโครงสร้างที่ต่อช่องด้วยชิ้นส่วนเสริมเพียง 1 ชิ้นนี้ก็



บังคับสามารถดูคุณภาพดังงานจากการชนได้ดีกว่าโครงสร้างที่ต้องแบบสลับฟันปลาและโครงสร้างที่ต้องแบบทแยงมุมเหมือนเดิม

### 5.3 ผลการทดสอบการชนของโครงสร้างหลังการอยนต์โดยสาร

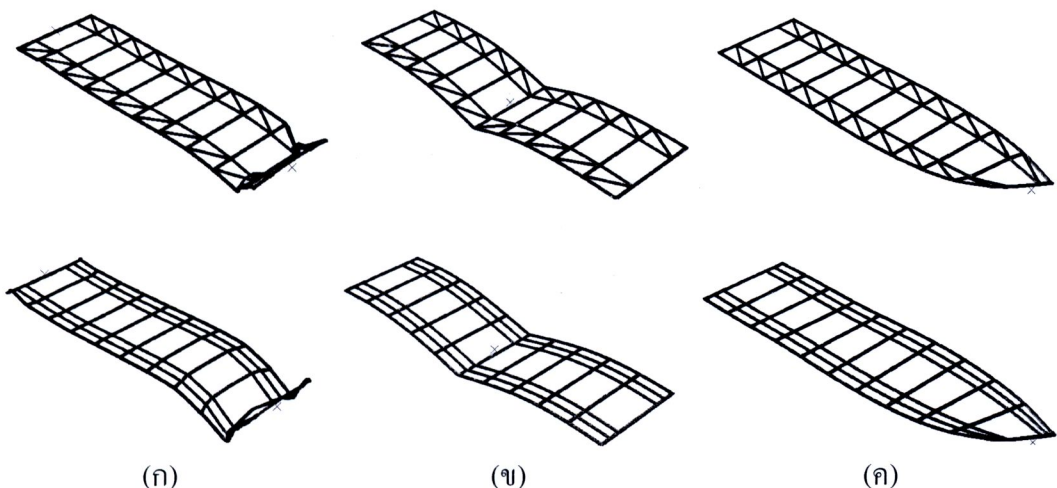
แบบจำลองโครงสร้างหลังคาที่นำมาใช้ในการศึกษานี้จำลองมาจากการแบบโครงสร้างหลังคาที่ใช้งานกันทั่วไป ดังมีรายละเอียดวิธีการศึกษาดังอธิบายในหัวข้อที่ 4.7 และมีผลการศึกษาดังนี้

#### 5.3.1 ผลการทดสอบโครงสร้างหลังคาแบบที่ใช้กันในปัจจุบัน

โครงสร้างหลังคาที่ใช้ในการทดสอบเป็นโครงสร้างที่มีรูปแบบการต่อแบบในปัจจุบัน ซึ่งมีลักษณะการต่อ 2 แบบ ได้แก่ การต่อแบบขนานและการต่อแบบเฉียง ดังแสดงในภาพที่ 4.17 ซึ่งผลจากการศึกษาได้ทราบการตอบสนองของโครงสร้างภายใต้แรงกระทำต่างๆ ดังนี้

##### 5.3.1.1 การตอบสนองการชนของโครงสร้างหลังคาภายใต้ภาระแบบต่างๆ

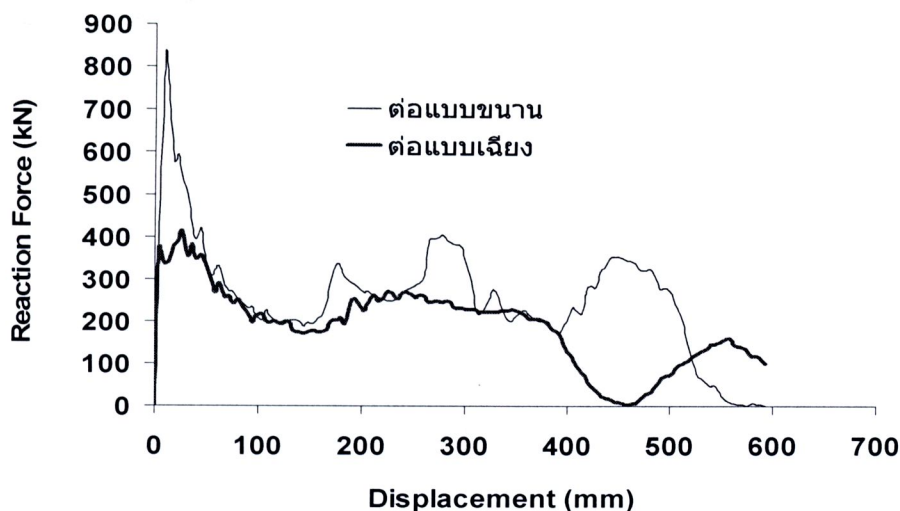
เมื่อโครงสร้างหลังคาได้รับภาระในรูปแบบต่างๆ กระทำ ก็จะเกิดการเสียรูปในรูปแบบที่แตกต่างกัน ดังภาพที่ 5.17 แสดงรูปแบบการเสียหายของโครงสร้างหลังคาที่ต่อแบบขนาน และต่อแบบเฉียง โดยภาพแรกถ่ายแสดงโครงสร้างหลังคาที่ต่อแบบขนาน ส่วนภาพภาพในแถวนอก แสดงโครงสร้างหลังคาที่ต่อแบบเฉียง ภาพที่ 5.17 (ก) แสดงรูปแบบการบุบตัวของโครงสร้างภายใต้ภาระการชนในแนวแกน ซึ่งจะสังเกตเห็นว่าปลายโครงสร้างด้านหน้าจะเกิดการบุบตัวโก่งลง และหักตัวขึ้น โดยลักษณะการโก่งตัวของโครงสร้างที่ต่อแบบขนานมีระเบียบการโก่งตัวลักษณะกว่าแบบที่ต่อแบบเฉียง



ภาพที่ 5.17 แสดงรูปแบบการเสียหายของโครงสร้างหลังคาที่ต่อแบบขนานและต่อแบบเฉียงภายใต้ภาระการชน 3 แบบ (ก) ภายใต้ภาระการชนในแนวแกน (ข) ภายใต้ภาระแบบดัดและ (ค) ภายใต้ภาระแบบบิด

ส่วนภาพที่ 5.17 (ช) แสดงรูปแบบการเสียหายภายในตัวโครงสร้างทั้ง 2 แบบ ซึ่งเกิดจากมุมดัดประมาณ 0.2 เรเดียน โดยพบว่าเกิดการเสียรูปตรงบริเวณส่วนกลางของโครงสร้างทั้ง 2 แบบ นอกจากนี้พบว่าโครงสร้างทั้งสองมีแนวโน้มการเสียรูปที่คล้ายกัน และภาพที่ 5.17 (ค) เป็นโครงสร้างที่ต่อแบบบานและแบบเฉียงภายในตัวโครงสร้างที่เกิดขึ้นจากการทดสอบมีค่าประมาณ 0.48 เรเดียน โดยจะสังเกตเห็นว่าโครงสร้างเกิดการบิดตัวตามแนวแรงบิด และมีรูปแบบการเสียหายที่คล้ายกัน

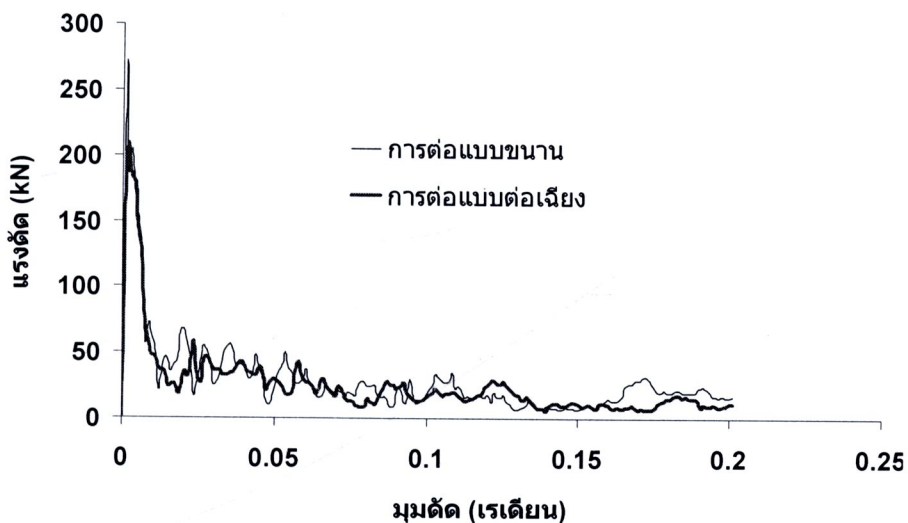
จากการทดสอบการชนของโครงสร้างหลังคาภายในตัวโครงสร้างทั้ง 2 แบบ ได้ทำการบันทึกค่ากระแสและระยะยุบตัว แล้วจึงเป็นกราฟของกระแสและระยะยุบตัวของโครงสร้างภายในตัวโครงสร้างที่ต่อแบบบานและโครงสร้างที่ต่อแบบเฉียง ดังแสดงในรูปที่ 5.18, 5.19 และ 5.20 สำหรับการการชนในแนวแกน กระแสแบบดัด และกระแสแบบบิด ตามลำดับ



ภาพที่ 5.18 แสดงกราฟความสัมพันธ์ระหว่างแรงปฎิกิริยา กับระยะยุบตัวของโครงสร้างหลังคาที่ต่อแบบบานและแบบเฉียงภายในแนวแกน

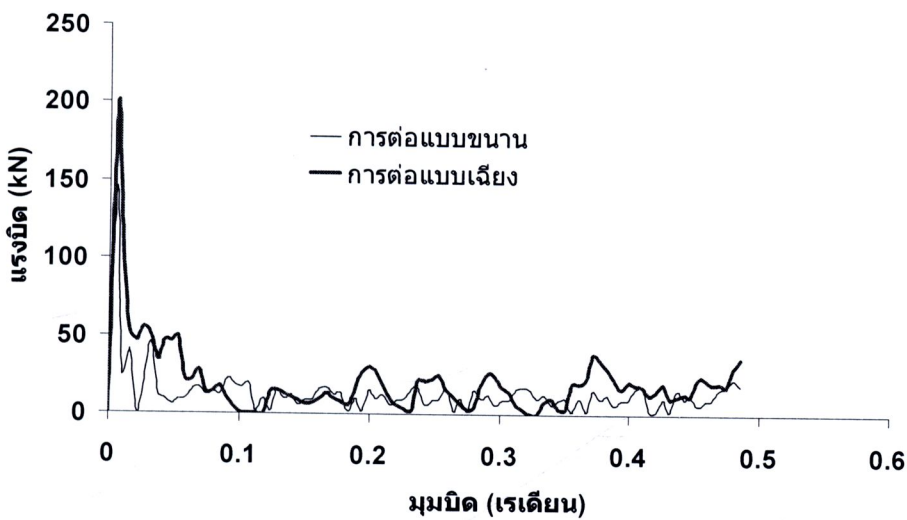
ภาพที่ 5.18 แสดงกราฟแสดงผลการทดสอบของแรงปฎิกิริยา กับระยะยุบตัวของโครงสร้างหลังคาที่ต่อแบบบาน โดยสารภายในตัวโครงสร้างทั้ง 2 แบบ พบร่วมกันของแรงปฎิกิริยา กับระยะยุบตัวของโครงสร้างทั้ง 2 แบบ พบว่ารูปแบบของกราฟโครงสร้างหลังคาที่ต่อแบบบานมีค่ากระแสวิกฤติประมาณ 850 kN ส่วนโครงสร้างที่ต่อแบบเฉียงมีค่ากระแสวิกฤติต่ำกว่ามาก คือประมาณ 390 kN หลังจากนี้เส้นกราฟจะแกว่งตัวขึ้นลงสลับกันไปจนสิ้นกระบวนการ ซึ่งจากการสังเกตลักษณะเส้นกราฟของการต่อแบบเฉียงจะมีแนวโน้มแกว่งตัวน้อยกว่าการต่อแบบบาน แต่หากพิจารณาค่าของแรงปฎิกิริยา จะพบว่าค่าแรงปฎิกิริยาของโครงสร้างที่ต่อแบบบานมีแนวโน้มที่สูง

กว่าค่าของการต่อแบบเนียง พื้นที่ได้กราฟของกราฟดังกล่าวจะถูกนำมาคำนวณหาค่าพลังงานคูดซับ และพลังงานคูดซับจำเพาะต่อไป ดังแสดงในตารางที่ 5.4



ภาพที่ 5.19 แสดงกราฟความสัมพันธ์ระหว่างแรงดัดและมุมดัดของโครงสร้างหลังคาที่ต่อแบบขานและแบบเนียงภายใต้ภาระการดัด

จากภาพที่ 5.19 เป็นกราฟแสดงค่าแรงดัดกับมุมดัดของโครงสร้างหลังคาที่ต่อแบบขานและต่อแบบเนียงภายใต้ภาระการดัด ทั้งนี้ในแกนนอนแสดงค่ามุมดัดของโครงสร้าง ส่วนในแกนตั้งแสดงค่าแรงดัดที่ได้จากการทดสอบ ซึ่งลักษณะของเส้นกราฟทั้งสองเส้นมีค่าใกล้เคียงกันตลอดการทดสอบ จากการสังเกตพบว่าโครงสร้างที่ต่อแบบขานสามารถรับภาระวิกฤติได้มากกว่าโครงสร้างหลังคาที่ต่อแบบเนียง โดยโครงสร้างแบบขานสามารถรับภาระวิกฤติได้ประมาณ 270 kN ส่วนโครงสร้างที่ต่อแบบเนียงสามารถรับได้ประมาณ 220 kN จากนั้ngraph จะลดลงมาประมาณ 50 kN แล้วแกว่งตัวขึ้นลงในระดับนี้ไปเรื่อยๆ จนสิ้นสุดการเดียหาย พื้นที่ได้กราฟของกราฟดังกล่าวจะถูกนำมาคำนวณหาค่าพลังงานคูดซับและพลังงานคูดซับจำเพาะสำหรับภาระการดัดต่อไป ดังแสดงข้อมูลในตารางที่ 5.4



ภาพที่ 5.20 แสดงกราฟความสัมพันธ์ระหว่างแรงบิดและมุมบิดของโครงสร้างหลังคาที่ต่อแบบขนานและแบบเฉียงภายใต้ภาระบิด

จากภาพที่ 5.20 เป็นกราฟของแรงบิดและมุมบิดของโครงสร้างหลังคาภายใต้ภาระบิดของโครงสร้างทั้งสองแบบ จากราฟจะเห็นว่าโครงสร้างหลังคาที่ต่อแบบเฉียงในช่วงแรกจะมีค่าภาระสูงสุดประมาณ 200 kN ซึ่งมีค่ามากกว่าการต่อแบบขนานซึ่งมีค่าภาระสูงสุดประมาณ 150 kN หลังจากการวิกฤติแล้วเส้นกราฟของแรงบิดจะตกลง และแกว่งตัวขึ้นลงในช่วงระหว่าง 0 ถึง 50 kN นอกจ้านี้ยังพบว่ากราฟของโครงสร้างหลังคาที่ต่อแบบเฉียงมีแนวโน้มค่าแรงบิดที่สูงกว่าโครงสร้างที่ต่อแบบขนาน ส่วนพื้นที่ใต้กราฟของกราฟดังกล่าวจะถูกนำมาคำนวณหาค่าพลังงานคุณซับและพลังงานคุณซับจำเพาะสำหรับภาระบิดต่อไป ดังแสดงข้อมูลในตารางที่ 5.4 และการอภิปรายผลในหัวข้อต่อไปนี้

### 5.3.1.2 ค่าการคุณซับพลังงานจากนحنของโครงสร้างหลังคาภายใต้ภาระแบบต่างๆ

เมื่อนำข้อมูลการทดสอบจากโปรแกรม FEA ของแพงโครงสร้างหลังคาแบบที่ใช้ในปัจจุบันทั้ง 2 แบบ ภายใต้ภาระการชนแบบต่างๆมาคำนวณหาค่าภาระเฉลี่ย ( $P_{mean}$ ) และระยะยุบตัวของโครงสร้างในรูปแบบต่างๆ ก็จะสามารถคำนวณหาค่าพลังงานคุณซับ ( $E_a$ ) ของโครงสร้างได้ และเมื่อนำค่า  $E_a$  มาหารด้วยมวลของโครงสร้าง (Structural Mass) ก็จะได้ค่าพลังงานคุณซับจำเพาะ ( $E_s$ ) โดยผลการคำนวณที่ได้ดังแสดงไว้ในตารางที่ 5.4

ตารางที่ 5.4 ค่าพลังงานคดซับ ( $E_a$ ) และค่าพลังงานคดซับจำเพาะ ( $E_s$ ) จากแบบจำลองทาง FEA ของโครงสร้างหลังคาภายใต้การะแบบต่างๆ

การะที่กระทำ / รูปแบบการต่อ	Structural Mass (kg)	Stroke, Bending Angle, Twisting Angle	ผลการทดสอบ			
			$P_{mean}$ (kN)	Moment (kN.m)	$E_a$ (kN.m)	$E_s$ (N.m/kg)
<b>Axial load</b>		(mm)				
การต่อแบบขาน	197.51	600	255.75	-	153.45	776.92
การต่อแบบเฉียง	197.25	600	187.38	-	112.43	569.98
<b>Bending load</b>		(Rad.)				
การต่อแบบขาน	197.51	0.2	28.62	119.42	23.88	120.92
การต่อแบบเฉียง	197.25	0.2	25	104.31	20.86	105.75
<b>Twisting load</b>		(Rad.)				
การต่อแบบขาน	197.51	0.48	10.94	12.85	6.17	31.23
การต่อแบบเฉียง	197.25	0.48	17.48	20.54	9.86	50

จากตารางที่ 5.4 แสดงผลการคำนวณที่ได้จากการทดสอบการชนของโครงสร้างหลังคาด้วยการะทั้ง 3 แบบ โดยผลการทดสอบพบว่าในกรณีของการชนในแนวแกนนี้ โครงสร้างหลังคาที่ต่อแบบขานสามารถคดซับพลังงานได้เท่ากับ 153.45 kN.m ส่วนโครงสร้างที่ต่อแบบเฉียงได้ 112.43 kN.m ดังนั้นจะเห็นว่าโครงสร้างหลังคาที่ต่อแบบขานสามารถคดซับพลังงานจากการชนในแนวแกนได้มากกว่าโครงสร้างหลังคาที่ต่อแบบเฉียงประมาณ 26.73% และเมื่อพิจารณาถึงมวลของตัวโครงสร้าง ซึ่งมีมวลเกือบเท่ากัน พบว่าความสามารถในการคดซับพลังงานจำเพาะของโครงสร้างหลังคาที่ต่อแบบขานยังมากกว่าโครงสร้างหลังคาที่ต่อแบบเฉียงประมาณ 26.64% สำหรับผลการทดสอบภายใต้การะแบบดัด พบว่าโครงสร้างหลังคาที่ต่อแบบขานสามารถคดซับพลังงานได้เท่ากับ 23.88 kN.m และโครงสร้างที่ต่อแบบทแยงมุมคดซับพลังงานได้เท่ากับ 20.86 kN.m ซึ่งหากเปรียบเทียบกันพบว่าโครงสร้างหลังคาที่ต่อแบบขานสามารถคดซับพลังงานจากการชนแบบดัดได้มากกว่าวิธีการต่อแบบเฉียงประมาณ 12.65% และการ

ต่อแบบบานสามารถลดชับพลังงานจำเพาะได้ดีกว่าการต่อแบบเฉียงประมาณ 12.55% ส่วนการทดสอบภายใต้ภาระการบิดพบว่าโครงสร้างหลังคาที่ต่อแบบบานสามารถลดชับพลังงานได้เท่ากับ 6.17 kN.m และโครงสร้างที่ต่อแบบเฉียงสามารถลดชับพลังงานได้เท่ากับ 9.86 kN.m หากเปรียบเทียบกันจะพบว่าโครงสร้างหลังคาที่ต่อแบบเฉียงสามารถลดชับพลังงานจากการบิดได้มากกว่าการต่อโครงสร้างแบบบานประมาณ 37.42% หากพิจารณาค่าพลังงานคุดชับจำเพาะ พบว่าโครงสร้างหลังคาแบบเฉียงสามารถลดชับพลังงานจำเพาะได้มากกว่าการต่อโครงสร้างที่ต่อแบบบาน 18.77 N.m/kg หรือประมาณ 37.54%

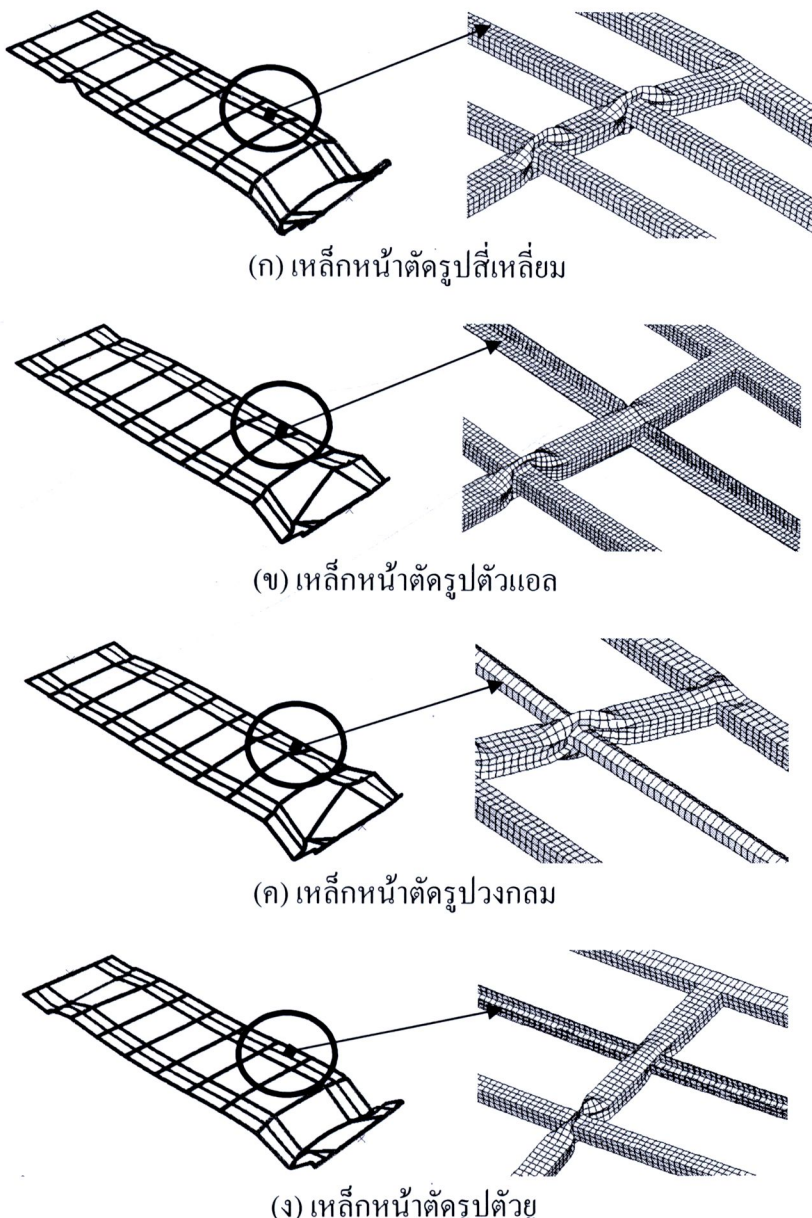
จากการศึกษาที่กล่าวมา จะเห็นว่าได้ว่าโครงสร้างหลังคาที่ต่อแบบบานสามารถลดชับพลังงานจากการชนในแนวแกนและการชนแบบดัดได้มากกว่าโครงสร้างหลังคาที่ต่อแบบเฉียง แต่ในการณ์ที่รับภาระแบบบิด ผลการศึกษากลับตรงกันข้าม กล่าวคือโครงสร้างหลังคาที่ต่อแบบเฉียงกลับมาสามารถลดชับพลังงานได้ดีกว่าโครงสร้างที่ต่อแบบบาน

### **5.3.2 ผลการทดสอบการชนของโครงสร้างหลังคาที่มีการเสริมความแข็งแรงด้วยเหล็กหน้าตัดต่างๆ**

ในงานวิจัยนี้ได้นำโครงสร้างหลังคาแบบบานซึ่งมีแนวโน้มการลดชับพลังงานจากการชนที่ดีกว่าโครงสร้างที่ต่อแบบเฉียง มาทำการพัฒนาต่อโดยทดลองติดตั้งชินส่วนเสริมความแข็งแรงที่มีหน้าตัดต่างๆ ได้แก่ หน้าตัดรูปสี่เหลี่ยม รูปวงกลม รูปตัวยูและรูปตัวแอล ดังรายละเอียดบรรยายในหัวข้อที่ 4.7.2 และดังรูปที่แสดงในภาพที่ 4.18 โดยมีผลการทดสอบดังนี้

#### **5.3.2.1 การตอบสนองการชนของโครงสร้างหลังคาที่มีการเสริมความแข็งแรงด้วยเหล็กหน้าตัดต่างๆ**

ภาพที่ 5.21 แสดงรูปแบบการเสียหายของโครงสร้างหลังคาที่ต่อเสริมด้วยเหล็กหน้าตัดทั้ง 4 แบบดังกล่าว โดยการทดสอบใช้วิธีทดสอบด้วย FEA โดยในภาพที่ 5.21 (ก) คือโครงสร้างหลังคาที่เสริมด้วยเหล็กหน้าตัดรูปสี่เหลี่ยม ส่วนทางด้านขวาคือภาพขยายของชินส่วนที่ใช้ต่อเสริม และในภาพที่ 5.21 (ข), (ค) และ (ง) เป็นการแสดงรูปแบบการเสียหายของการต่อเสริมโครงสร้างด้วยเหล็กหน้าตัดรูปตัวแอล รูปวงกลมและรูปตัวยูตามลำดับ

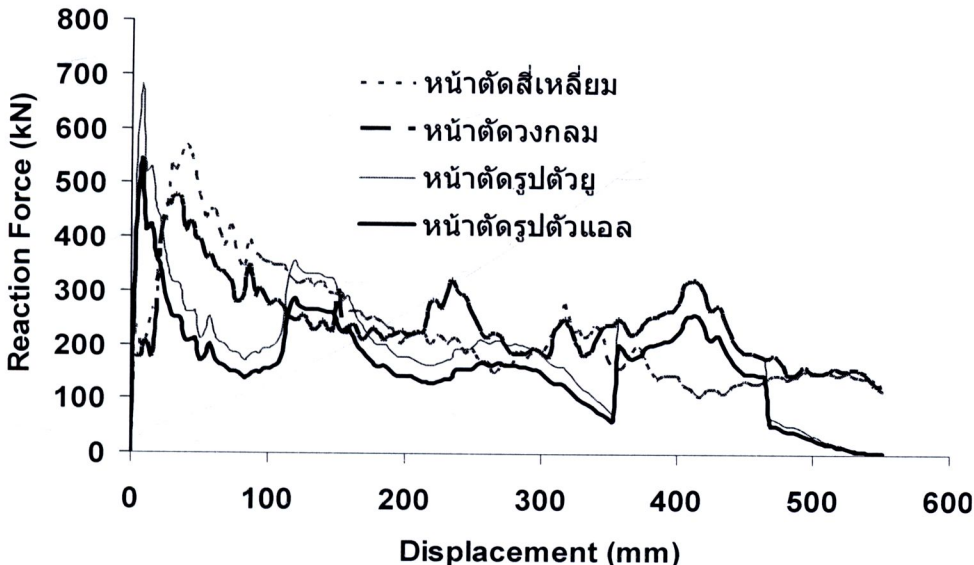


**ภาพที่ 5.21** แสดงรูปแบบการเสียหายของโครงสร้างหลังคาที่เสริมความแข็งแรงด้วยเหล็กหน้าตัด 4 แบบ ทดสอบภายใต้ภาระการชนในแนวแกน

จากภาพที่ 5.21 จะเห็นว่ารูปแบบการเสียหายที่เกิดขึ้นจากการทดสอบทั้งหมดส่วนใหญ่มักมีการเสียหายในบริเวณด้านหน้าของโครงสร้างเป็นหลัก เพราะเป็นบริเวณที่เกิดการชน และพบว่าบริเวณตอนท้ายของโครงสร้างก็มีลักษณะบุบตัวบ้าง เนื่องจากแรงบังส่วนที่ถูกกระจายไปตามโครงสร้าง ทั้งนี้คงจะนักวิจัยได้ทำการขยายภาพการเสียหายของส่วนเสริมความแข็งแรงเพื่อศึกษาการเสียหายโดยละเอียด พบว่าตัวค่านของแรงของโครงสร้างส่วนใหญ่จะถูกชนจนเสียรูป

ก่อนที่ชิ้นส่วนต่อเสริมจะเกิดการเสียหายขึ้น โดยสังเกตเห็นว่าชิ้นส่วนเสริมความแข็งแรงแบบหน้าตัดวงกลมสามารถส่งผ่านแรงไปที่คานห่วงได้มากที่สุด

เข่นเดียวกับการศึกษาส่วนอื่นๆ ที่ผ่านมา ในการทดสอบได้เก็บข้อมูลค่าภาระ และระเบียบยุบตัวของโครงสร้าง และเจียนเป็นกราฟแสดงความสัมพันธ์ได้ดังรูปที่ 5.22



ภาพที่ 5.22 แสดงผลการทดสอบการชนในแนวแกนของโครงสร้างหลังคาแบบบานที่ติดตั้งส่วนเสริมความแข็งแรงแบบหน้าตัดต่างๆ

จากภาพที่ 5.22 แสดงกราฟความสัมพันธ์ระหว่างแรงปฏิกิริยา กับ ระยะยุบตัวของโครงสร้างหลังคาแบบบานที่ติดตั้งส่วนเสริมหน้าตัดต่างๆ ซึ่งทดสอบการชนในแนวแกน จากกราฟจะเห็นว่าโครงสร้างที่เสริมด้วยเหล็กรูปตัวหยูมีค่าภาระวิกฤติสูงสุด คือประมาณ 690 kN รองลงมาเป็นของหน้าตัดรูปตัวแอล ประมาณ 540 kN ส่วนโครงสร้างที่เสริมด้วยเหล็กหน้าตัดรูปสี่เหลี่ยมและหน้าตัดรูปวงกลมนี้ค่าภาระวิกฤติที่ใกล้เคียงกัน คือประมาณ 200 kN หลังจากนั้นลักษณะกราฟของทุกโครงสร้างมีลักษณะแก่งงตัวขึ้นลงสลับกันตลอด ทั้งนี้จะสังเกตเห็นว่ารูปแบบการแก่งงตัวของกราฟมีแนวโน้มไปทางเดียวกัน

### 5.3.2.2 ค่าการดูดซับพลังงานจากชนของโครงสร้างหลังคาที่มีการต่อเสริมด้วยโครงสร้างหน้าตัดต่างๆ

พื้นที่ใต้กราฟของกราฟในภาพที่ 5.22 ถูกคำนวณเพื่อหาค่าพลังงานดูดซับในแต่ละกรณี ดังแสดงผลการคำนวณในตารางที่ 5.5

ตารางที่ 5.5 ค่าพลังงานคุณซับ ( $E_a$ ) และค่าพลังงานคุณซับจำเพาะ ( $E_s$ ) จากแบบจำลองทาง FEA ของโครงสร้างหลังคาที่ใช้ชิ้นส่วนต่อเสริมหน้าตัดที่ต่างกัน

รูปแบบหน้าตัดของเหล็ก ส่วนเสริมโครงสร้างหลังคา	$P_{mean}$ (kN)	Stroke (mm)	$E_a$ (kN.m)	Structural Mass (kg)	$E_s$ (N.m/kg)
หน้าตัดรูปป่วงกลม	238.65	550	131.26	190.36	689.50
หน้าตัดรูปสี่เหลี่ยม	228.82	550	125.85	197.51	637.20
หน้าตัดรูปตัวยู	200.90	550	110.50	176.66	625.52
หน้าตัดรูปตัวแอล	160.73	550	88.40	173.46	509.62

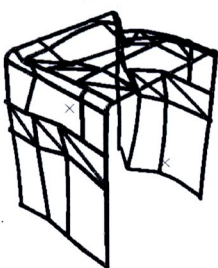
จากตารางที่ 5.5 เป็นการคำนวณค่าพลังงานคุณซับและค่าพลังงานคุณซับจำเพาะจากการชนในแนวแกนของโครงสร้างหลังครายนต์โดยสาร ที่มีการติดตั้งส่วนเสริมความแข็งแรงที่ใช้หน้าตัดรูปป่วงกลม รูปสี่เหลี่ยม รูปตัวยู และรูปตัวแอล ซึ่งจะเห็นว่าค่าพลังงานคุณซับของโครงสร้างที่ใช้เหล็กหน้าตัดรูปป่วงกลมเป็นส่วนเสริมมีค่าเท่ากับ 131.26 kN.m ส่วนหน้าตัดรูปสี่เหลี่ยม หน้าตัดรูปตัวยูและหน้าตัดรูปตัวแอล มีค่าพลังงานคุณซับเท่ากับ 125.85 kN.m, 110.50 kN.m และ 88.4 kN.m ตามลำดับ จากผลดังกล่าวเห็นได้ว่าโครงสร้างที่ต่อเสริมด้วยเหล็กหน้าตัดรูปป่วงกลมสามารถคุณซับพลังงานจากการชนได้ดีกว่าแบบอื่น เมื่อเทียบกับมวลของตัวโครงสร้างแต่ละแบบแล้ว พนวณการต่อเสริมด้วยเหล็กหน้าตัดรูปสี่เหลี่ยมจะมีมวลมากกว่าแบบอื่น โดยมีมวลประมาณ 197.51 kg ซึ่งเมื่อเปรียบเทียบกับการใช้เหล็กหน้าตัดรูปสี่เหลี่ยมแล้ว การใช้เหล็กหน้าตัดรูปป่วงกลมสามารถคุณซับพลังงานได้ดีกว่าโดยที่มีมวลน้อยกว่า เมื่อวิเคราะห์ผลจากความสามารถในการดูดซับพลังงานจำเพาะของโครงสร้าง พนวณว่าโครงสร้างที่ต่อเสริมด้วยเหล็กหน้าตัดรูปป่วงกลมจะให้ผลดีกว่าแบบอื่น คือมีค่าคุณซับพลังงานจำเพาะเท่ากับ 689.5 N.m/kg ซึ่งเป็นค่าสูงที่สุด อย่างไรก็ตามการเชื่อมต่ออาจมีความยากมากกว่าเหล็กแบบสี่เหลี่ยม

## 5.4 ผลการทดสอบการชนของโครงสร้างประกอบที่ต่อระหว่างโครงสร้างหลังคากับโครงสร้างด้านข้าง

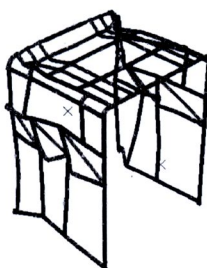
ในหัวข้อนี้ได้นำแบบจำลองทาง FEA มาทำการศึกษาโครงสร้างประกอบ ที่ประกอบด้วยโครงสร้างหลังคาแบบต่างๆ กับโครงสร้างด้านข้างแบบต่างๆ ประกอบเข้าด้วยกัน ดังอธิบายวิธีการศึกษาในบทที่ 4 หัวข้อที่ 4.8 จากนั้นนำโครงสร้างประกอบมารับภาระการชนในแนวแกน เพื่อศึกษาพฤติกรรมของโครงสร้างแต่ละชุด โดยมีผลการศึกษาดังต่อไปนี้

### 5.4.1 การตอบสนองการชนของโครงสร้างประกอบที่ต่อระหว่างโครงสร้างหลังคา กับโครงสร้างด้านข้าง

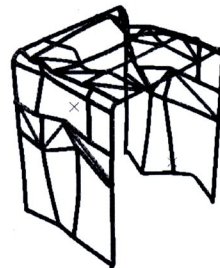
เมื่อโครงสร้างประกอบที่จำลองขึ้นถูกภาระกระทำจากด้านหน้า จะเกิดการยุบตัวเสียหายในรูปแบบต่างๆ กัน ดังแสดงในภาพที่ 5.23



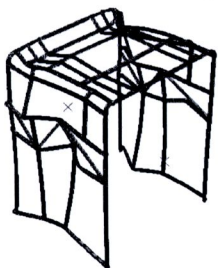
(ก) ทรายงมุน+เรียบง่าย



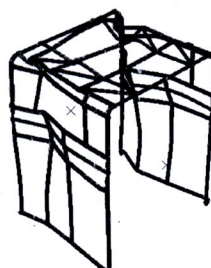
(ข) ทรายงมุน+ทรายงมุน



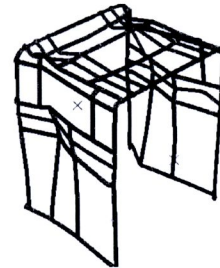
(ค) สลับพื้นปอล่า+เรียบง่าย



(จ) สลับพื้นปอล่า+ทรายงมุน



(ก) เรียบง่าย+ทรายงมุน

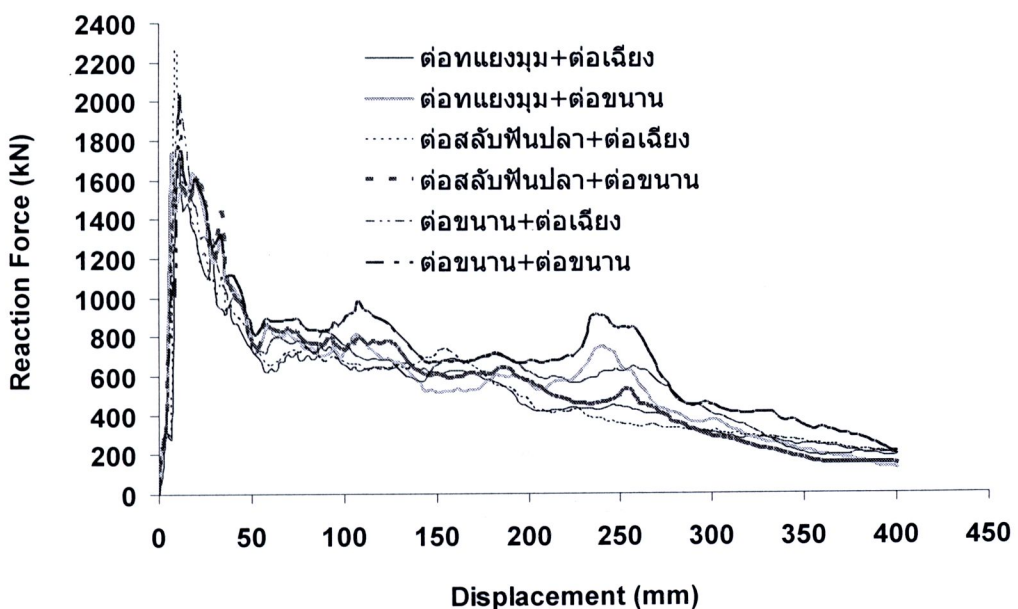


(ก) เรียบง่าย+เรียบง่าย

ภาพที่ 5.23 แสดงรูปแบบการเสียหายจากการชนของโครงสร้างประกอบที่ต่อจากแผงโครงสร้างด้านข้างกับโครงสร้างหลังคาแบบต่างๆ

ภาพที่ 5.23 เป็นรูปแบบการเสียหายจากการทดสอบด้วยการจำลองการชนด้านหน้าของโครงสร้างที่ประกอบจากแผงโครงสร้างด้านข้างกับโครงสร้างหลังคาแบบต่างๆ โดยในภาพที่ 5.23 (ก) เป็นการเสียของหายโครงสร้างประกอบระหว่างโครงสร้างด้านข้างแบบทรายงมุนต่อ กับ

โครงสร้างหลังคาแบบเฉียง ภาพที่ 5.23 (บ) เป็นการเสียหายของโครงสร้างประกอบระหว่าง โครงสร้างด้านข้างแบบทแยงมุมต่อ กับ โครงสร้างหลังคาแบบขนาด ภาพที่ 5.23 (ค) เป็นการเสียหายของโครงสร้างประกอบระหว่าง โครงสร้างด้านข้างแบบสลับฟันปลาต่อ กับ โครงสร้างหลังคาแบบเฉียง ภาพที่ 5.23 (ง) เป็นการเสียหายของโครงสร้างประกอบระหว่าง โครงสร้างด้านข้างแบบสลับฟันปลาต่อ กับ โครงสร้างหลังคาแบบขนาด ภาพที่ 5.23 (จ) เป็นการเสียหายของโครงสร้างประกอบระหว่าง โครงสร้างด้านข้างแบบเฉียง และ ภาพที่ 5.23 (ฉ) เป็นการเสียหายของโครงสร้างประกอบระหว่าง โครงสร้างด้านข้างแบบขนาดต่อ กับ โครงสร้างหลังคาแบบขนาด ซึ่งจะสังเกตเห็นว่า โครงสร้างประกอบจะเกิดการยุบตัวของโครงสร้างจากด้านหลังของ โครงสร้างก่อน จากนั้นจะมีการเสียหายกระจายไปตลอด โครงสร้าง ทั้งนี้พบว่า โครงสร้างหลังคา มี การพับตัวลงด้านล่าง และ โครงสร้างด้านข้างก็เกิดการพับตัวเข้าไปด้านใน โดย โครงสร้างด้านข้างที่ ต่อแบบสลับฟันปลา เกิดการพับตัวเข้าไปลึกที่สุด จึงอาจสร้างอันตรายแก่ผู้โดยสารมากที่สุด ใน ภาพรวมจะสังเกตเห็นว่า รูปแบบการเสียหายของ โครงสร้าง มีลักษณะที่คล้ายกัน แต่ผลการ ตอบสนองในรูปแบบของแรงปฎิกิริยาของแต่ละ โครงสร้างนั้นพบว่า มีความแตกต่างกันบ้าง ดัง แสดงเป็นกราฟความสัมพันธ์ระหว่างแรงปฎิกิริยาและระยะยุบตัวในภาพที่ 5.24



ภาพที่ 5.24 แสดงกราฟของแรงปฎิกิริยาและระยะยุบตัวของ โครงสร้างประกอบที่ต่อจาก โครงสร้าง ด้านข้าง กับ โครงสร้างหลังคาแบบต่างๆ

ภาพที่ 5.24 ซึ่งเป็นกราฟแสดงผลของแรงปฎิกิริยาและระยะยุบตัวของแบบจำลอง โครงสร้างประกอบที่ได้จากการทดสอบการชนของ โครงสร้างที่ประกอบสลับกัน 6 แบบ ระหว่าง

โครงสร้างหลังคากับแพงโครงสร้างด้านข้างของรถยนต์โดยสารแบบต่างๆ ซึ่งจากการสังเกตพบว่า กราฟของแต่ละโครงสร้างมีลักษณะที่คล้ายๆ กันว่าคือมีการแกว่งตัวสูงในช่วงแรก จากนั้นจะแกว่งตัวในลักษณะถู่ถ้วงมาเรื่อยๆ จากข้อมูลพบว่าโครงสร้างประกอบที่ประกอบด้วยโครงสร้างด้านข้างแบบบานและโครงสร้างหลังคatypeให้ค่าภาระวิกฤตสูงสุด คือประมาณ 2,250 kN ตามมาด้วยโครงสร้างประกอบที่ประกอบด้วยโครงสร้างด้านข้างแบบบานและโครงสร้างหลังคatypeแบบบาน ซึ่งมีค่าประมาณ 2,100 kN ส่วนโครงสร้างอื่นๆ พนว่ามีค่าภาระวิกฤติกลัดเคียงกันมาก คือประมาณ 1,700 – 1,800 kN นอกจากนี้ยังสังเกตได้ว่าโครงสร้างประกอบที่ประกอบด้วย โครงสร้างด้านข้างแบบบานและโครงสร้างหลังคatypeแบบบานนั้นจะมีค่าของกราฟสูงกว่าของ โครงสร้างแบบอื่นๆ

#### 5.4.2 ค่าการดูดซับพลังงานจากชนของโครงสร้างประกอบที่ต่อจากโครงสร้างด้านข้าง และโครงสร้างหลังคatypeต่างๆ

คณะวิจัยได้นำข้อมูลจากการทดสอบในภาพที่ 5.24 มาคำนวณหาค่าพลังงานดูดซับ ( $E_a$ ) และ ค่าพลังงานดูดซับจำเพาะ ( $E_s$ ) ซึ่งได้ผลดังแสดงในตารางที่ 5.6

ตารางที่ 5.6 ผลการคำนวณของการทดสอบการชนในแนวแกนของการต่อสลับระหว่างโครงสร้าง ด้านข้างกับโครงสร้างหลังคatypeโดยสาร

การประกอบโครงสร้างด้านข้าง กับโครงสร้างหลังคatype		$P_{mean}$ (kN)	Stroke (mm)	$E_a$ (kN.m)	Structural Mass (kg)	$E_s$ (N.m/kg)
แพงโครงสร้าง ด้านข้าง	แพงโครงสร้าง หลังคatype					
แบบทึบ	แบบเฉียง	520.42	400	208.00	284.1	732.21
แบบทึบ	แบบบาน	585.27	400	234.11	286.93	815.91
แบบสลับพื้นปลา	แบบเฉียง	528.11	400	211.24	284.10	743.54
แบบสลับพื้นปลา	แบบบาน	565.11	400	226.04	286.93	787.78
แบบบาน	แบบเฉียง	603.41	400	241.36	281.94	856.07
แบบบาน	แบบบาน	697	400	278.8	285.05	978.07

ตารางที่ 5.6 เป็นผลการคำนวณค่าพลังงานคูดซับและค่าพลังงานคูดซับจำเพาะของการทดสอบการชนในแนวแกนระหว่างโครงสร้างด้านข้างกับโครงสร้างหลังคารอยน์โดยสารที่ต่อสลับกัน 6 แบบ จากข้อมูลในตาราง พบว่าการต่อโครงสร้างประกอบที่สามารถคูดซับพลังงานได้สูงสุดคือโครงสร้างที่ต่อจากแพงด้านข้างแบบบานานกับโครงสร้างหลังคางานแบบบานาน ซึ่งสามารถคูดซับพลังงานได้เท่ากับ  $278.8 \text{ kN.m}$  รองลงมาคือโครงสร้างที่ต่อจากแพงด้านข้างแบบบานานกับโครงสร้างหลังคางานเฉียง ซึ่งสามารถคูดซับพลังงานได้เท่ากับ  $241.36 \text{ kN.m}$  ซึ่งน้อยกว่าแบบแรกประมาณ  $13\%$  ส่วนโครงสร้างที่คูดซับพลังงานได้น้อยที่สุดคือโครงสร้างที่ต่อจากแพงด้านข้างแบบท้ายมุมกับโครงสร้างหลังคางานเฉียง ซึ่งสามารถคูดซับพลังงานได้เท่ากับ  $208 \text{ kN.m}$  ซึ่งน้อยกว่าโครงสร้างแบบแรกถึง  $25.39\%$  ส่วนโครงสร้างแบบอื่นๆ พบว่ามีค่าการคูดซับพลังงานใกล้เคียงกันคือระหว่างประมาณ  $210 - 230 \text{ kN.m}$

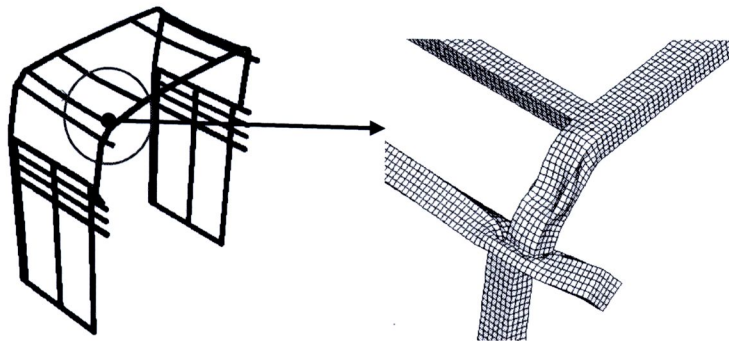
เมื่อนำค่าพลังงานคูดซับของแต่ละโครงสร้างมาเทียบกับมวลของตัวโครงสร้างเอง จะเห็นว่าโครงสร้างประกอบที่ต่อจากแพงด้านข้างแบบบานานกับโครงสร้างหลังคางานมีค่าการคูดซับพลังงานจำเพาะสูงสุด โดยมีค่าเท่ากับ  $978.07 \text{ N.m/kg}$  ส่วนโครงสร้างที่ต่อจากแพงด้านข้างแบบบานานกับโครงสร้างหลังคางานเฉียงมีค่าพลังงานคูดซับจำเพาะรองลงมา คือ  $856.07 \text{ N.m/kg}$  ส่วนโครงสร้างอื่นๆ พบว่ามีค่าการคูดซับพลังงานจำเพาะใกล้เคียงกัน

## 5.5 ผลการทดสอบลักษณะการยึดต่อระหว่างโครงสร้างหลังคากับแพงโครงสร้างด้านข้างของรอยน์โดยสาร

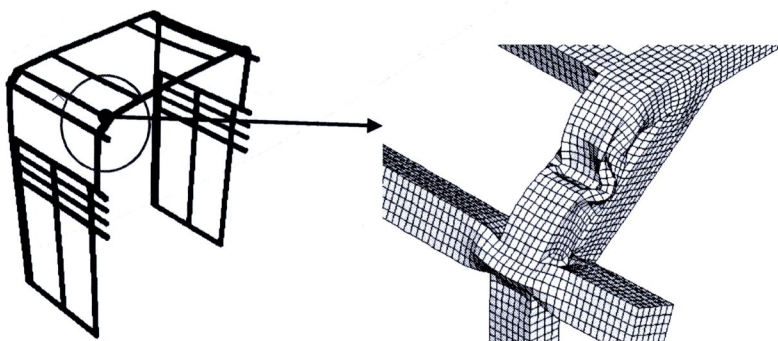
ในส่วนนี้คณานักวิจัยได้ทำการจำลองชิ้นส่วนยึดต่อแบบต่างๆ เพื่อเชื่อมระหว่างโครงสร้างหลังคางานและแพงด้านข้าง โดยใช้แพงด้านข้างแบบบานานและโครงหลังคางานเนื้องจากเป็นโครงสร้างประกอบที่สามารถคูดซับพลังงานจากการชนได้สูงสุดดังได้กล่าวมาแล้ว ทั้งนี้ลักษณะของชิ้นส่วนยึดต่อที่จำลองขึ้นเรียกว่า การต่อแบบที่ 1 การต่อแบบที่ 2 และการต่อแบบที่ 3 ตามที่อธิบายไว้ในหัวข้อที่ 4.9 และในภาพที่ 4.20 ซึ่งมีผลการศึกษาดังนี้

### 5.5.1 การตอบสนองการชนของโครงสร้างประกอบที่ยึดต่อด้วยชิ้นส่วนยึดต่อลักษณะต่างๆ

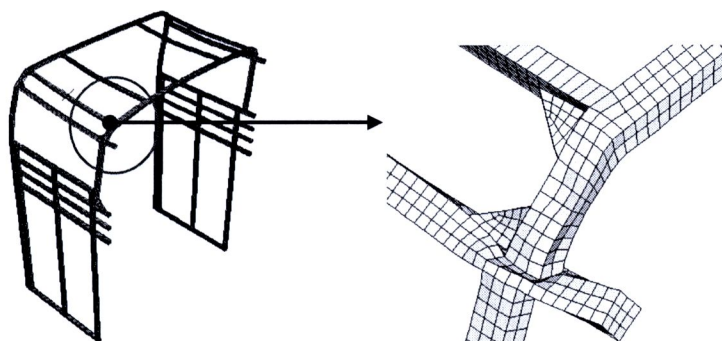
รูปแบบการเดินทางของโครงสร้างประกอบที่ยึดต่อด้วยชิ้นส่วนยึดต่อแบบต่างๆ ทั้ง 3 แบบนั้นแสดงในภาพที่ 5.25



(ก) การต่อแบบที่ 1



(ข) การต่อแบบที่ 2

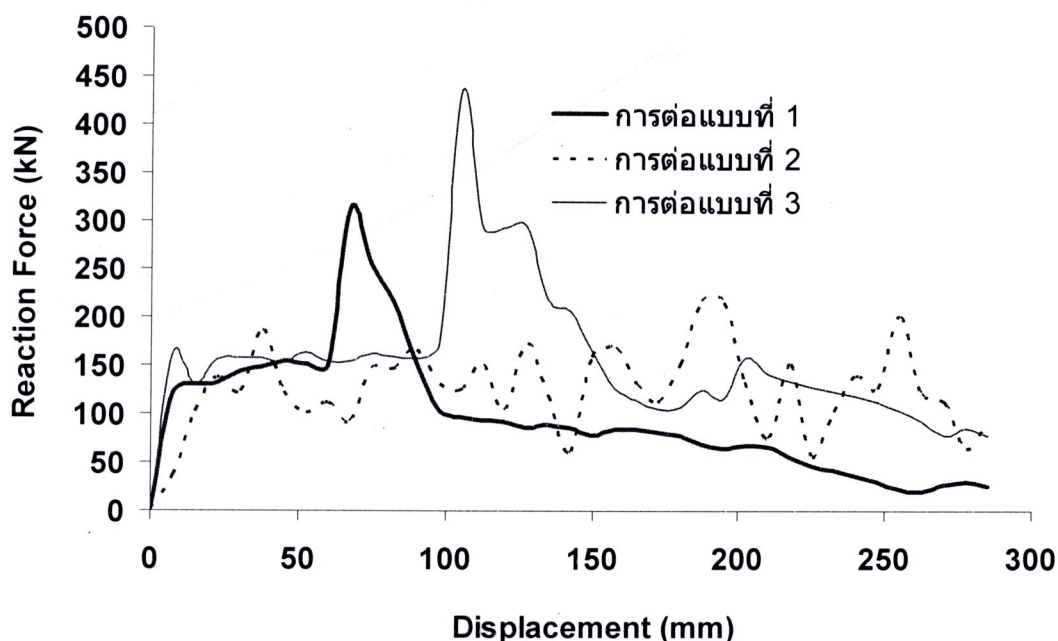


(ค) การต่อแบบที่ 3

**ภาพที่ 5.25** แสดงรูปแบบการเสียหายจากการทดสอบการชนของโครงสร้างประกอบที่มีชิ้นส่วนยึดต่อแบบต่างๆ

จากภาพที่ 5.25 เป็นรูปแบบการเสียหายที่เกิดจากการชนของชุดต่อโครงสร้างค้านข้างกับโครงสร้างหลังคาโดยในภาพที่ 5.25 (ก) เป็นลักษณะการเสียหายของโครงสร้างแบบที่ 1 ซึ่งไม่ได้มีการต่อเสริมใดๆ ในภาพที่ 5.25 (ข) เป็นลักษณะการต่อแบบที่ 2 การต่อแบบนี้นิยมใช้กันทั่วไปในอุตสาหกรรมต่อราบ และภาพที่ 5.25 (ค) เป็นลักษณะการต่อแบบที่ 3 ซึ่งใช้แผ่นเหล็ก

สามเหลี่ยมต่อปริเวณมุมของจุดต่อคัวยเหล็กแผ่นขนาดหนา 2 mm นำมาตัดให้เข้ามุม ซึ่งมีใช้ในอุปกรณ์โดยสารบางแห่ง ผลจากการทดสอบการต่อห้อง 3 แบบ พบว่าลักษณะการเสียหายของแบบที่ 1 และแบบที่ 2 มีลักษณะการเสียรูปที่คล้ายกัน กล่าวคือโครงสร้างหลักที่ยึดระหว่างหลังคาและแผงข้างจะเกิดการบุบตัวคล้ายเกิดการตัด ซึ่งส่งผลให้เกิดการเสียรูปมาก ส่วนแบบที่ 3 พบว่าโครงสร้างหลักมีการเสียรูปน้อยกว่าสองแบบแรก โดยแผ่นเหล็กที่เสริมเข้าไปจะทำหน้าที่กระจายแรงเข้าสู่โครงสร้างส่วนอื่นๆ ของแผงข้างและหลังคาต่อไป



ภาพที่ 5.26 กราฟแรงปฏิกิริยาและระยะบุบตัวของโครงสร้างประกอบที่มีชิ้นส่วนยึดต่อแบบต่างๆ

ภาพที่ 5.26 แสดงลักษณะของแรงปฏิกิริยาของโครงสร้างที่มีชิ้นส่วนยึดต่อแบบต่างๆ เมื่อรับภาระกดในแนวแกน จากกราฟจะเห็นว่าในช่วงแรกที่เกิดภาระวิกฤติ การต่อแบบที่ 3 ให้ค่าภาระวิกฤติที่สูงกว่าแบบอื่น คือมีค่าประมาณ 160 kN ที่ระยะชนประมาณ 15 mm ส่วนในการต่อแบบที่ 1 จะมีค่าภาระสูงสุดประมาณ 130 kN ที่ระยะชนประมาณ 18 mm ส่วนการต่อแบบที่ 2 จะให้ค่าภาระสูงสุดประมาณ 140 kN ที่ระยะชนประมาณ 30 mm หากพิจารณาจากลักษณะกราฟจะเห็นว่าการต่อแบบที่ 3 มีแนวโน้มค่าของแรงปฏิกิริยาสูงกว่าการต่อแบบอื่นๆ และพบว่าการต่อแบบที่ 2 มีลักษณะการแก่งตัวของแรงปฏิกิริยาค่อนข้างน้อย เมื่อเทียบกับการต่อแบบอื่นๆ

### 5.5.2 ค่าพลังงานคุณซับของโครงสร้างประกอบที่ยึดต่อด้วยชิ้นส่วนยึดต่อลักษณะต่างๆ

คณะวิจัยได้นำข้อมูลจากภาพที่ 5.2.6 มาคำนวณหาค่าพลังงานคุณซับของแต่ละโครงสร้าง และได้ผลดังแสดงในตารางที่ 5.7

ตารางที่ 5.7 ค่าพลังงานคุณซับของโครงสร้างประกอบที่มีชิ้นส่วนยึดต่อแบบต่างๆ

ลักษณะจุดต่อโครงสร้าง ด้านข้างกับโครงสร้างหลังคา	$P_{mean}$ (kN)	Stroke (mm)	$E_a$ (kN.m)
การต่อแบบที่ 1	95.789	285	26.44
การต่อแบบที่ 2	125.319	285	35.72
การต่อแบบที่ 3	154.202	285	43.95

จากตารางที่ 5.7 จะเห็นว่าโครงสร้างประกอบที่มีการยึดต่อแบบที่ 3 สามารถดูดซับพลังงานได้สูงที่สุด คือประมาณ 43.95 kN.m ส่วนโครงสร้างประกอบที่มีการยึดต่อแบบที่ 2 และแบบที่ 1 มีความสามารถรองลงมาคือมีค่าการดูดซับพลังงานเท่ากับ 35.72 kN.m และ 26.44 kN.m ตามลำดับ ทั้งนี้หากสังเกตรูปแบบการต่อแบบที่ 3 จากภาพที่ 4.20 และภาพที่ 5.25 จะพบว่าลักษณะการต่อแบบที่ 3 นี้ใช้วัสดุต่อเสริมไม่มากเมื่อเทียบกับการต่อแบบที่ 2 แต่สามารถดูดซับพลังงานจากการชนได้มากกว่าแบบที่ 2 ประมาณ 18.73% และการต่อแบบที่ 3 สามารถดูดซับพลังงานจากการชนได้มากกว่าแบบที่ 1 ประมาณ 39.84% ดังนั้นการต่อยึดโครงสร้างหลังคาเข้ากับแผงข้างจึงควรพิจารณาการยึดต่อแบบที่ 3 ก่อนแบบอื่นๆ